

# Twisting spins and twisting layers

Leon Balents, KITP

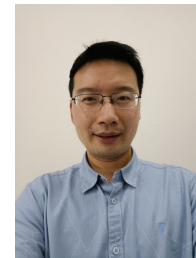
College de France, June 10, 2022

# Outline

- Twisting spins in  $Mn_3Sn$  with a magnetic field
- Multiple energy scales enable control of anomalous Hall effect



Kamran Behnia  
ESPCI



Zengwei Zhu  
Wuhan



Xiaokang Li  
Wuhan

- Twisting layers of spins in 2d materials
- Twists control new spin textures



Kasra Hejazi  
Caltech



Zhu-Xi Luo  
UCSB

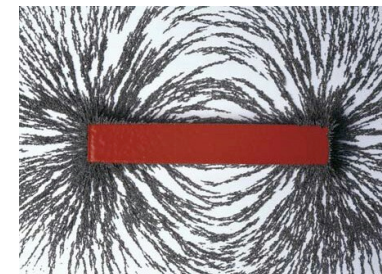
# Magnets

~500BC: Ferromagnetism  
documented in Greece,  
India, used in China



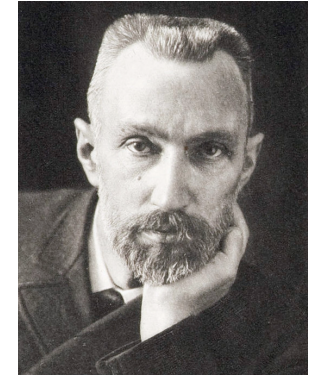
*sinan, ~200BC*

and in elementary school today



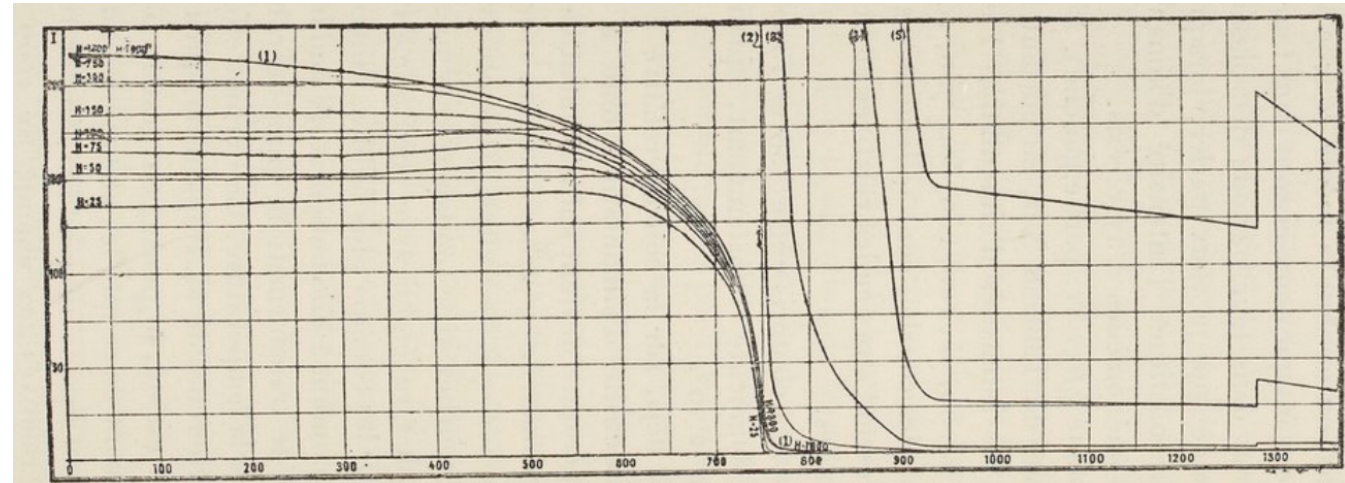
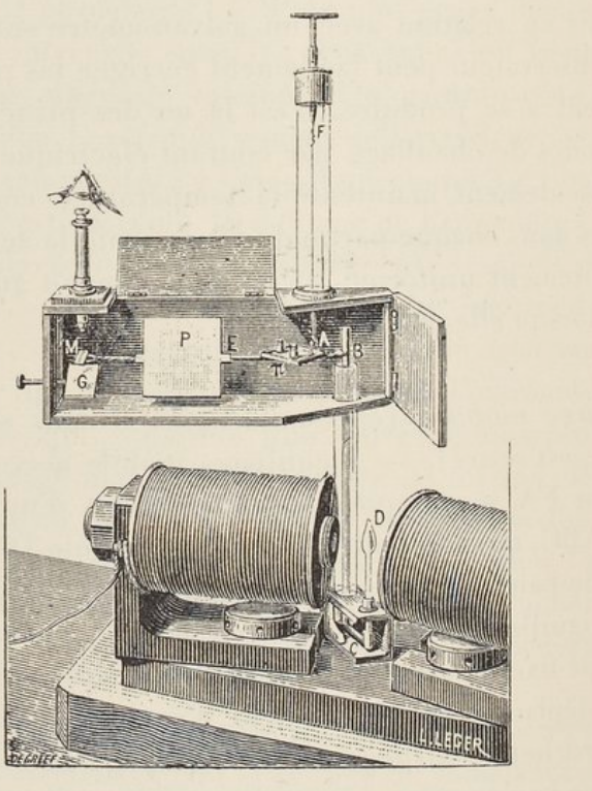
# PROPRIÉTÉS MAGNÉTIQUES DES CORPS A DIVERSES TEMPÉRATURES.

*Annales de Chimie et de Physique*, 7<sup>e</sup> série, t. V, 1895, p. 289.



Pierre Curie

Fig. 3.





ÉLÉMENTS  
DE PHYSIQUE  
EXPÉRIMENTALE  
ET DE MÉTÉOROLOGIE  
PAR  
M. POUILLETT  
MEMBRE DE L'INSTITUT (ACADEMIE DES SCIENCES)

**205. Influence de la chaleur sur le magnétisme.** — Nous avons déjà dit qu'un aimant artificiel ou naturel, chauffé jusqu'au rouge blanc, perd complètement son magnétisme, de telle sorte qu'il n'est plus, après le refroidissement, qu'un corps inerte, sans force directrice et sans force magnétique. Cette observation est fort ancienne; elle avait été faite par Gilbert.

Quelques analogies assez remarquables entre les distances des atomes des corps et leurs propriétés magnétiques m'avaient conduit à penser que la limite magnétique des différents corps devait se trouver à des températures très-différentes, et j'ai, en effet, démontré par l'expérience :

1<sup>o</sup> Que le cobalt ne cesse jamais d'être magnétique, ou plutôt que sa limite magnétique est à une température plus haute que le rouge blanc le plus éclatant;

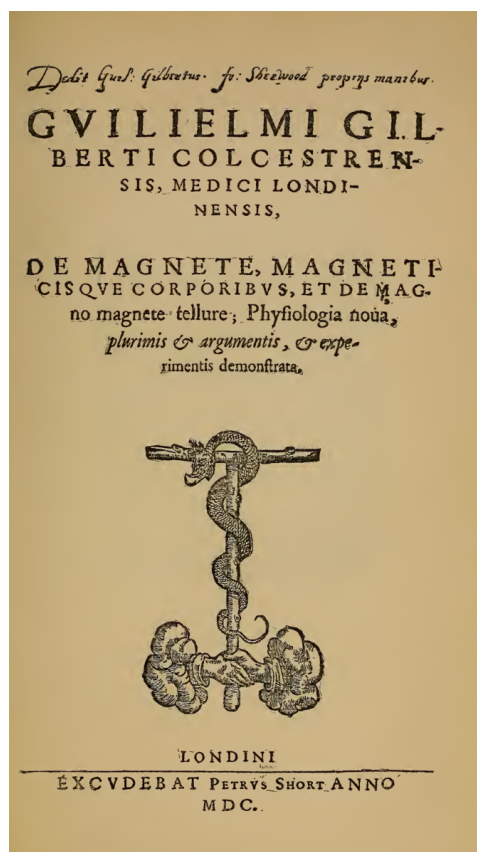
2<sup>o</sup> Que le chrome a sa limite magnétique un peu au-dessus de la température rouge sombre;

3<sup>o</sup> Que le nickel a sa limite magnétique vers 350°, à peu près à la température de la fusion du zinc;

4<sup>o</sup> Enfin, que le manganèse a sa limite magnétique à la température de 20 à 25° au-dessus de 0°.



ÉLÉMENTS  
DE PHYSIQUE  
EXPÉRIMENTALE  
ET DE MÉTÉOROLOGIE  
PAR  
M. POUILLETT  
MEMBRE DE L'INSTITUT (ACADEMIE DES SCIENCES)



205. Influence de la chaleur sur le magnétisme. — Nous avons déjà dit qu'un aimant artificiel ou naturel, chauffé jusqu'au rouge blanc, perd complètement son magnétisme, de telle sorte qu'il n'est plus, après le refroidissement, qu'un corps inerte, sans force directrice et sans force magnétique. Cette observation est fort ancienne; elle avait été faite par Gilbert.

Quelques analogies assez remarquables entre les distances des atomes des corps et leurs propriétés magnétiques m'avaient conduit à penser que la limite magnétique des différents corps devait se trouver à des températures très-différentes, et j'ai, en effet, démontré par l'expérience :

1<sup>o</sup> Que le cobalt ne cesse jamais d'être magnétique, ou plutôt que sa limite magnétique est à une température plus haute que le rouge blanc le plus éclatant;

2<sup>o</sup> Que le chrome a sa limite magnétique un peu au-dessus de la température rouge sombre;

3<sup>o</sup> Que le nickel a sa limite magnétique vers 350°, à peu près à la température de la fusion du zinc;

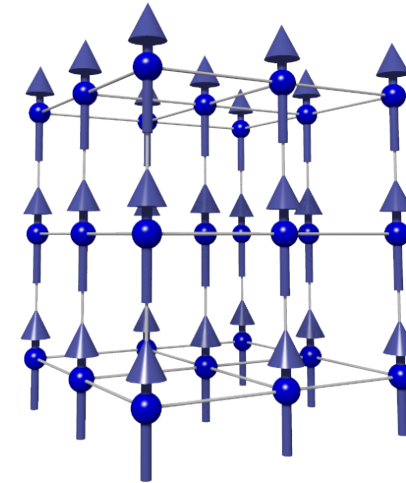
4<sup>o</sup> Enfin, que le manganèse a sa limite magnétique à la température de 20 à 25° au-dessus de 0°.



# Magnetism

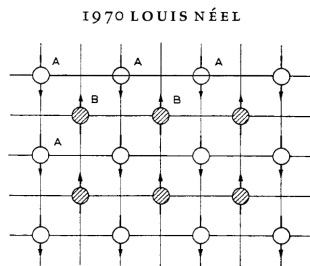
- Atomic spins interact via exchange to favor an ordered arrangement
- Aligned parallel: ferromagnets

$$H = -J \sum_{\langle ij \rangle} \mathbf{S}_i \cdot \mathbf{S}_j$$



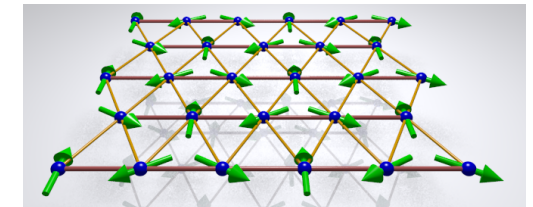
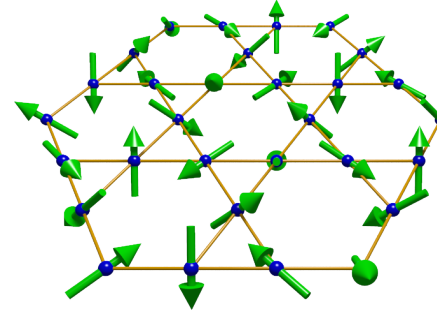
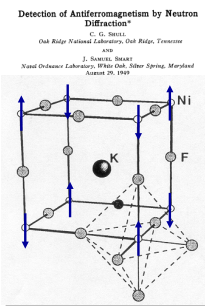
# Magnetism

- Atomic spins interact via exchange to favor an ordered arrangement
- More complex arrangements: antiferromagnets



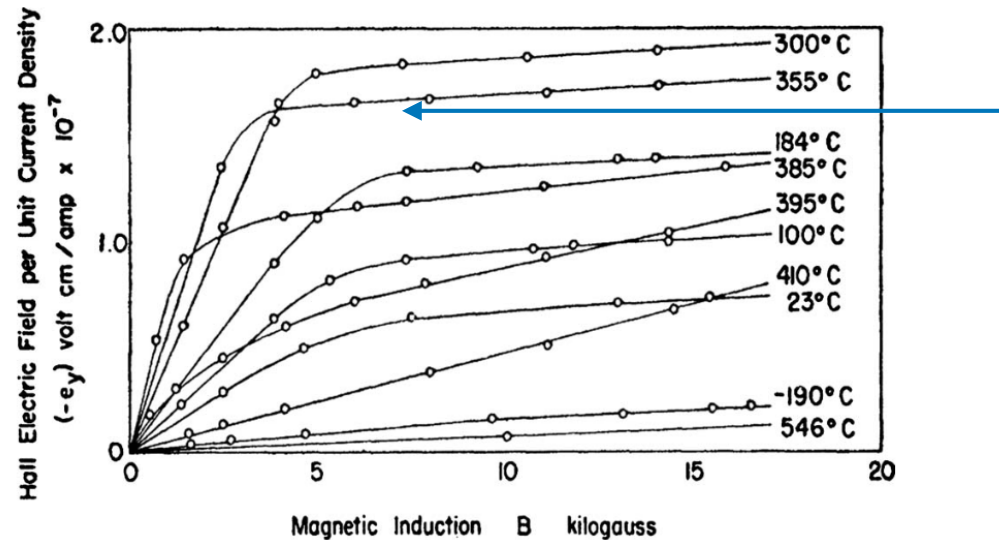
Louis Néel

1949AD:  
antiferromagnetism  
proven experimentally  
but there are 1000s of  
them, much more  
common than FMs



# AHE

“Anomalous” Hall effect: a field-independent contribution to the Hall effect due to magnetic order



$$\rho_H = R_H B + \rho_{AH}$$

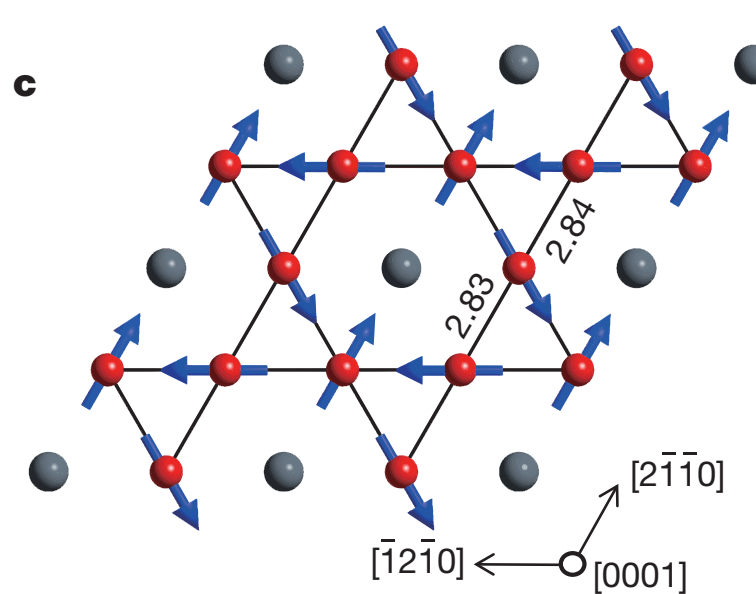
FIG. 1. The Hall effect in Ni (data from [Smith, 1910](#)). From [Pugh and Rostoker, 1953](#).

NICKEL.

La température de transformation magnétique du nickel est voisine de 340°; nous avons étudié ce corps entre 373° et 806°. Le coefficient d'aimantation est alors indépendant de l'intensité du champ. Il décroît régulièrement et très rapidement quand la température augmente. Le nickel était renfermé dans un tube de platine. Les résultats obtenus sont consignés dans le Tableau XV et figure 12.

Commonly seen in ferromagnets

# Mn<sub>3</sub>Sn



Spins arranged into  
elementary triangles -  
“kagomé”

large ordered  
*antiferromagnetic*  
moment  
 $\sim 2 \mu_B / \text{Mn}$   
tiny FM moment:  
.002  $\mu_B / \text{Mn}$

$T_N \sim 420 \text{K}$

Nagamiya *et al*, 1982

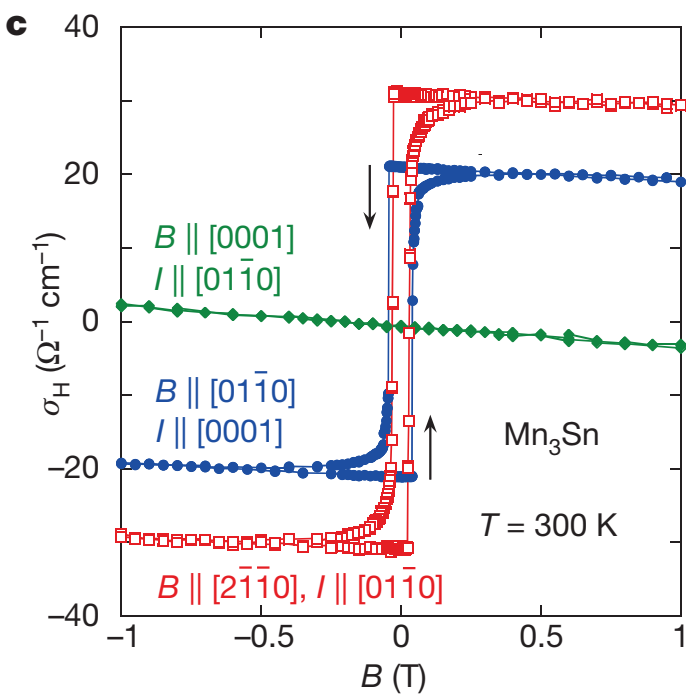
# AHE

Mn<sub>3</sub>Sn:

Large “anomalous” Hall conductivity

Tiny magnetization

Small coercive field

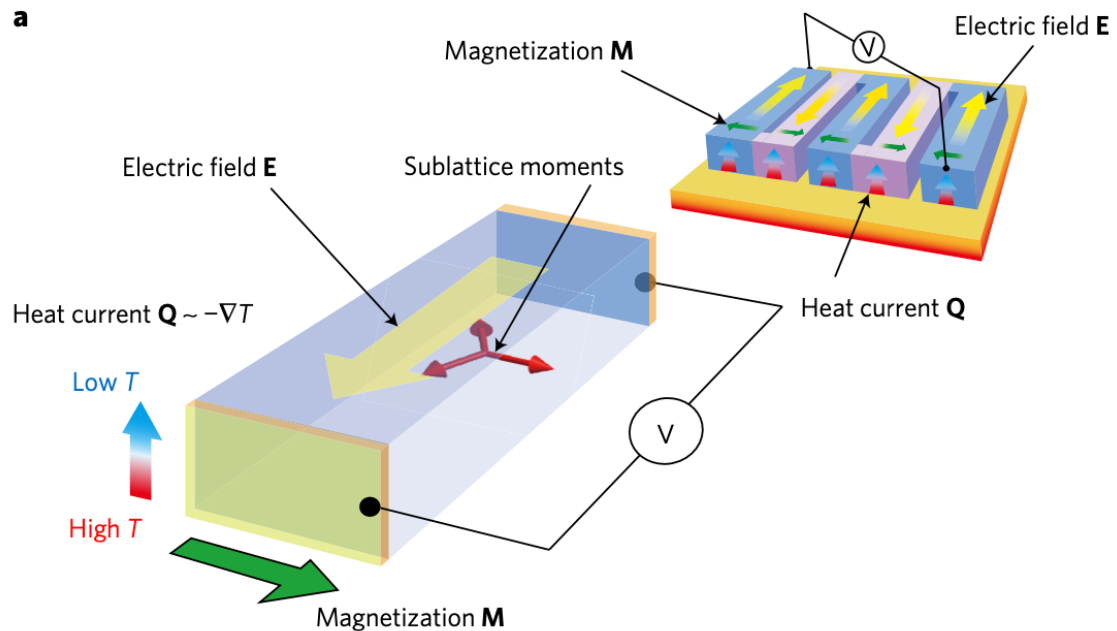


S. Nakatsuji *et al*, 2015

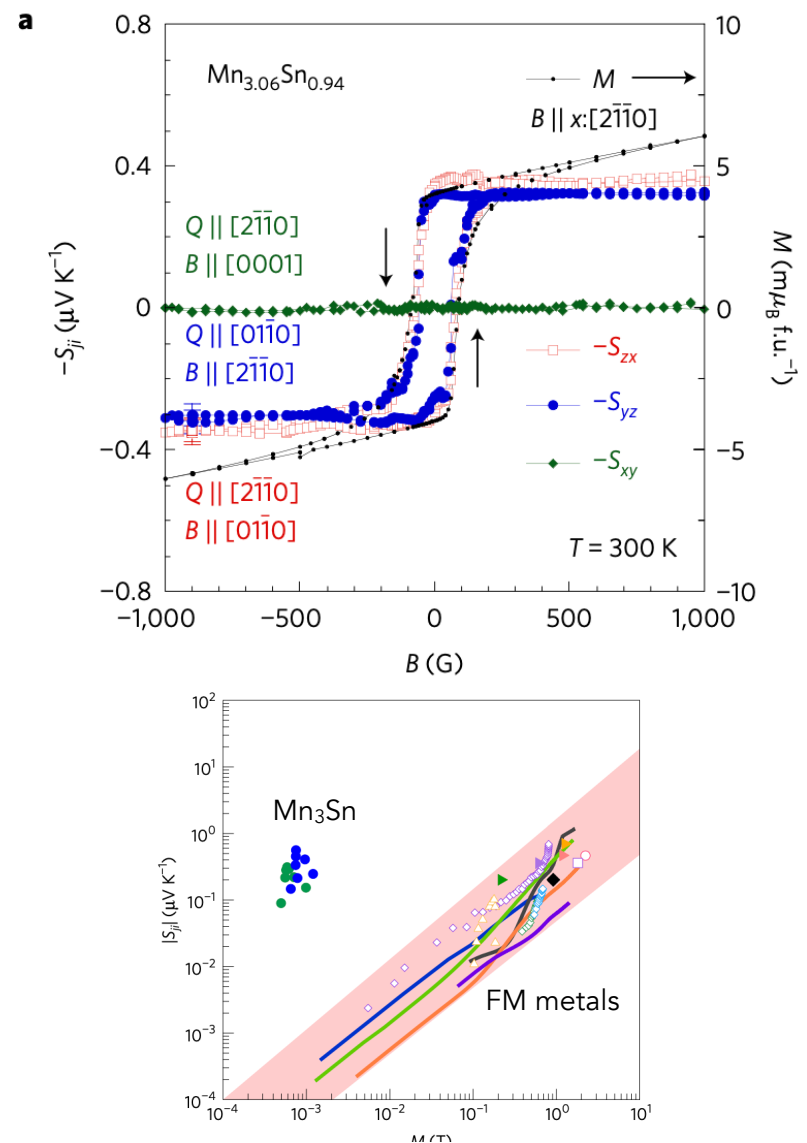
These properties are a desirable combination

# Anomalous Nernst Effect

Related effect with potential  
thermoelectric applications



Electric field perpendicular to  
temperature gradient



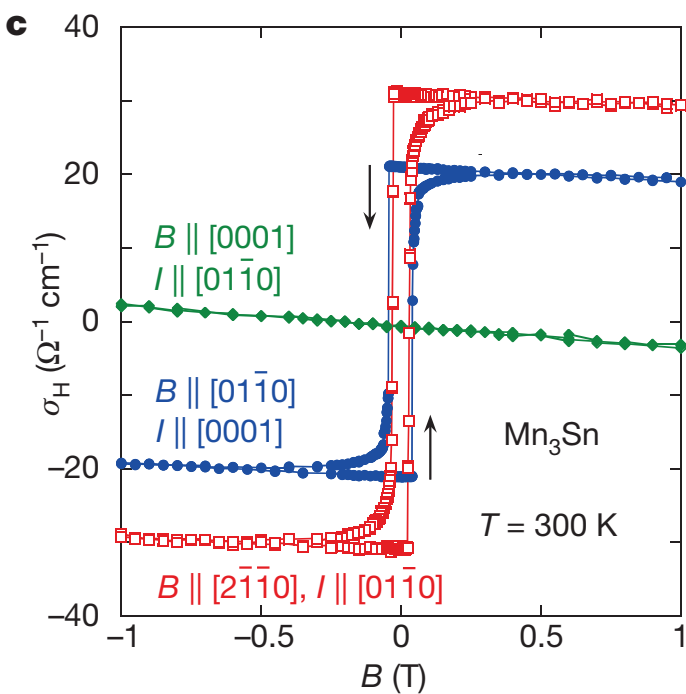
# AHE

Mn<sub>3</sub>Sn:

Large “anomalous” Hall conductivity

Tiny magnetization

Small coercive field



S. Nakatsuji *et al*, 2015

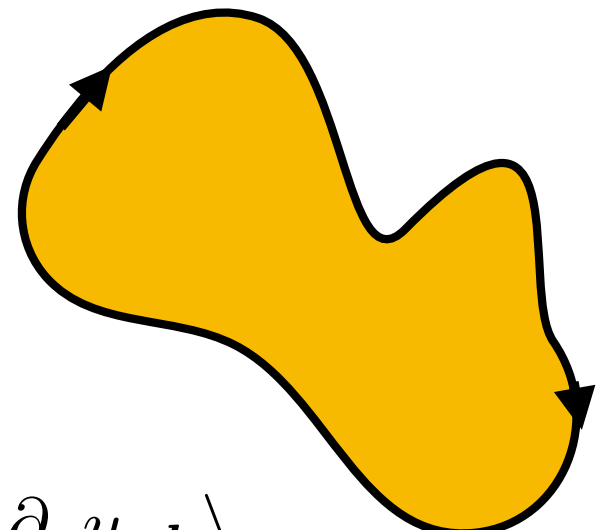
How do these properties go together???

# Twisting wave functions

Intrinsic anomalous Hall effect from  
Berry curvature:

$$\sigma_{\mu\nu}^{\text{AH}} = \frac{e^2}{\hbar} \epsilon_{\mu\nu\lambda} \Omega_\lambda$$

$$\Omega_\lambda = \epsilon_{\mu\nu\lambda} \sum_n \int \frac{d^3\mathbf{k}}{(2\pi)^3} n_F(\epsilon_{n\mathbf{k}}) \langle \partial_\mu u_{n\mathbf{k}} | \partial_\nu u_{n\mathbf{k}} \rangle$$



Karplus+Luttinger,  
1954



Physical meaning:

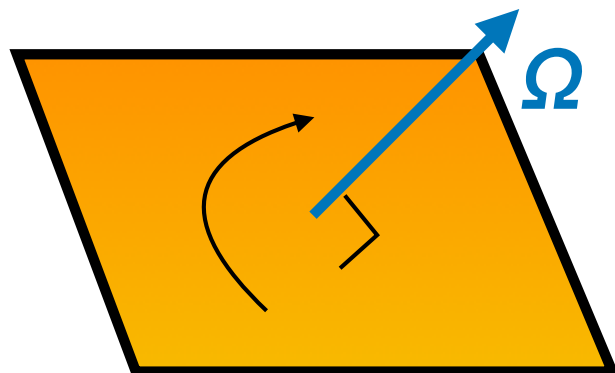
“Flux” of Berry curvature gives phase  
accumulated in an electron’s orbit



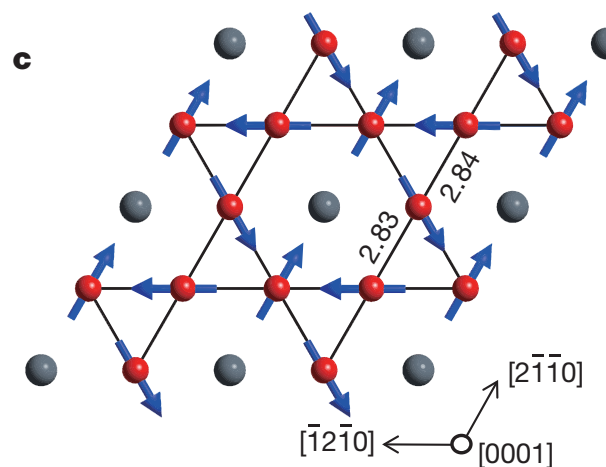
Thouless, Haldane

# Twisting wave functions

Hall vector  $\Omega$ :  $\sigma_{\mu\nu}^{\text{AH}} = \frac{e^2}{\hbar} \epsilon_{\mu\nu\lambda} \Omega_\lambda$



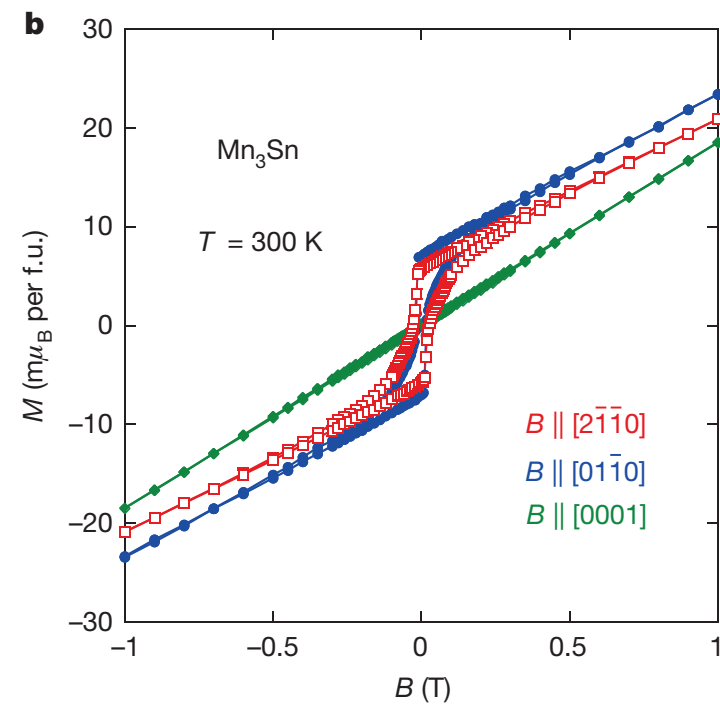
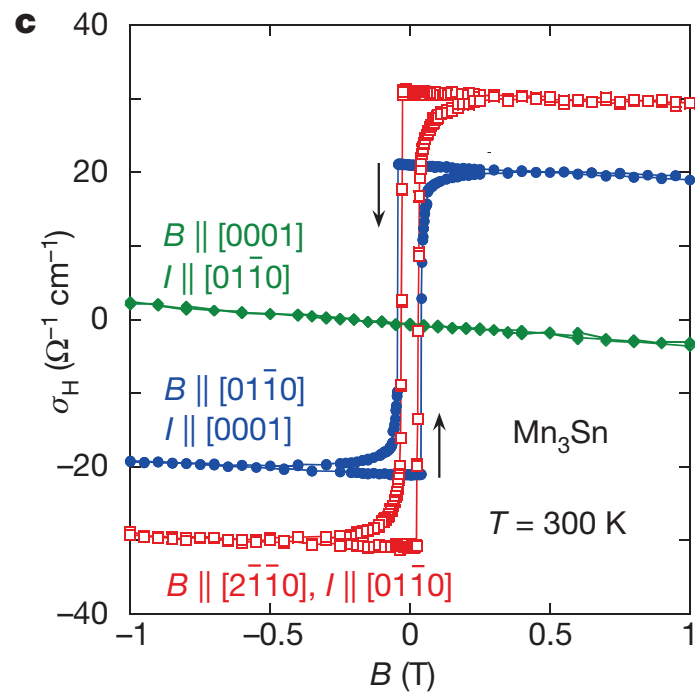
Determines plane of Hall effect



Spin configuration determines  $\Omega$  through influence on electrons

Because *local* moments are not small, neither is  $\Omega$

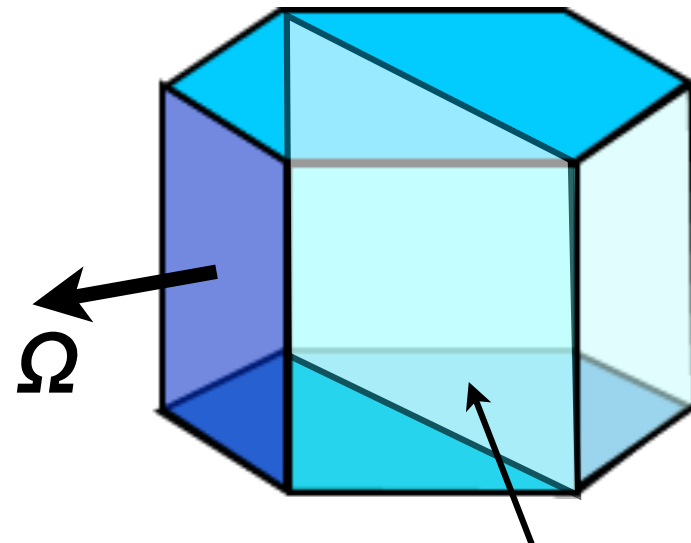
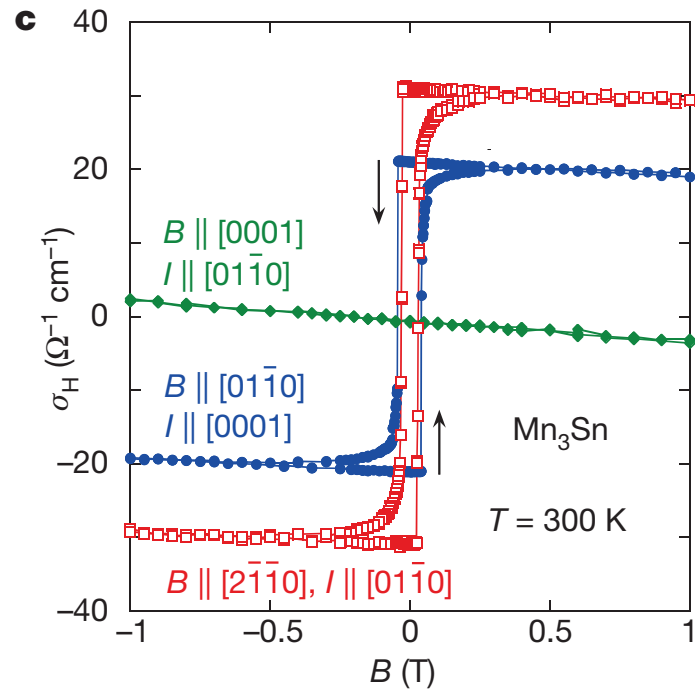
# AHE



S. Nakatsuji et al, 2015

Why such a tiny moment?  
Why such small coercive field?

# AHE

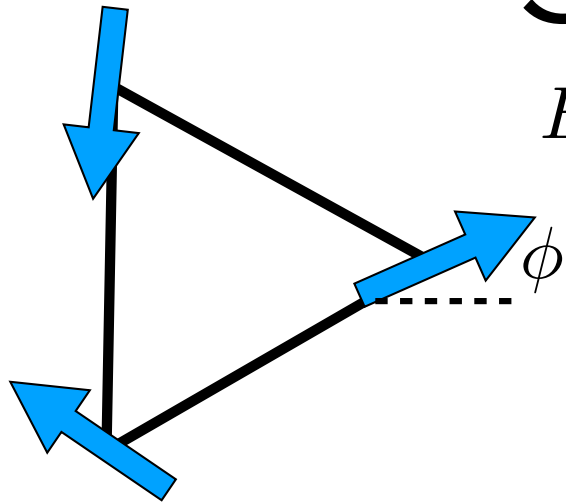


Hall effect in  
*vertical* plane

Why such a tiny moment?

For  $B > .2T$ , plane of the AHE follows the field

# Energetics: triangle



$$E = J (S_1 \cdot S_2 + S_2 \cdot S_3 + S_3 \cdot S_1)$$

$$+ D \hat{z} \cdot (S_1 \times S_2 + S_2 \times S_3 + S_3 \times S_1)$$

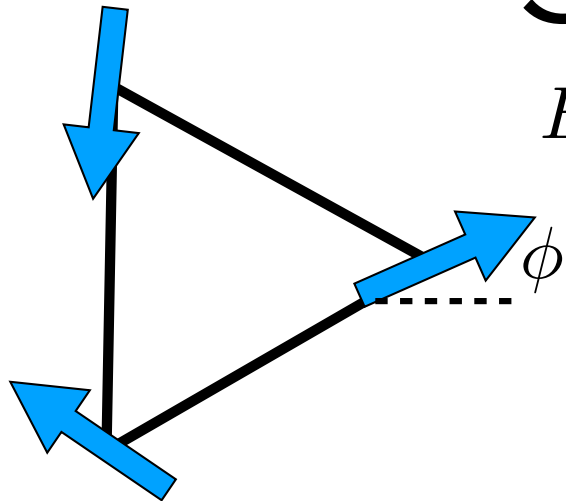
$$- K \sum_i (\hat{n}_i \cdot S_i)^2$$

Jianpeng Liu + LB, 2017

$J \gg D \gg K$  **Hierarchy of interactions**

- J: spins at 120° angles and M=0
- D: spins are “anti-chiral” in XY plane
- K: weak canting toward easy axes creates tiny moment, and even tinier preference for  $\phi$

# Energetics: triangle



$$E = J (S_1 \cdot S_2 + S_2 \cdot S_3 + S_3 \cdot S_1)$$

$$+ D \hat{z} \cdot (S_1 \times S_2 + S_2 \times S_3 + S_3 \times S_1)$$

$$- K \sum_i (\hat{n}_i \cdot S_i)^2$$

Jianpeng Liu + LB, 2017

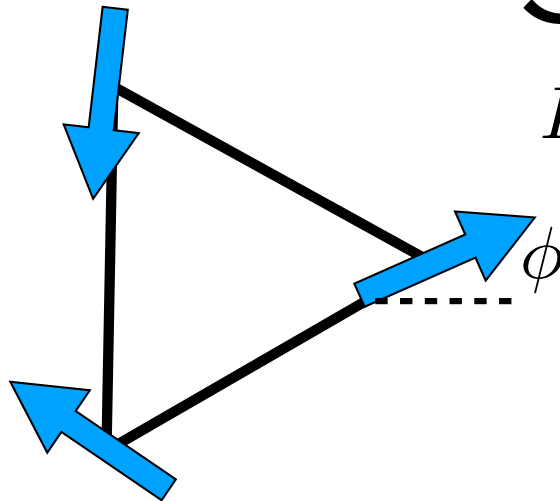
## $J \gg D \gg K$ **Hierarchy of interactions**

- J: spins at  $120^\circ$  angles and  $M=0$
- D: spins are “anti-chiral” in XY plane
- K: weak canting toward easy axes creates tiny moment, and even tinier preference for  $\phi$

Global symmetries:  
spin-space group

magnetic space group

# Energetics: triangle



$$E = J (S_1 \cdot S_2 + S_2 \cdot S_3 + S_3 \cdot S_1)$$

$$+ D \hat{z} \cdot (S_1 \times S_2 + S_2 \times S_3 + S_3 \times S_1)$$

$$- K \sum_i (\hat{n}_i \cdot S_i)^2$$

Jianpeng Liu + LB, 2017

$J \gg D \gg K$  **Hierarchy of interactions**

$$m_0 = \frac{K}{J} m_s$$

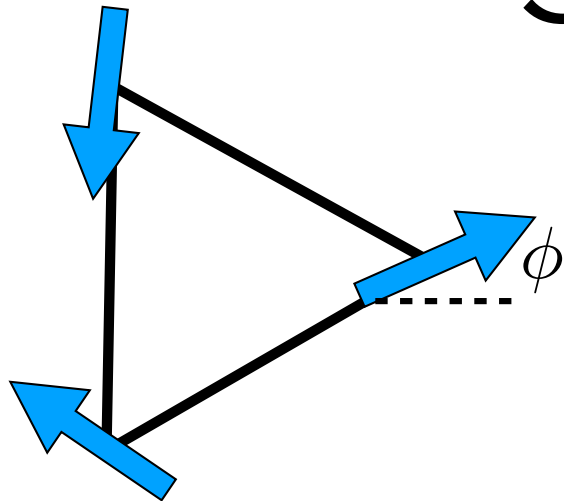
Uniform moment

Low coercive field  
despite tiny Zeeman  
energy

$$\lambda = \frac{K^3}{12J^2}$$

In-plane anisotropy

# Energetics: triangle



$$\Omega = |\Omega| \begin{pmatrix} \cos \phi \\ -\sin \phi \\ 0 \end{pmatrix}$$

Jianpeng Liu + LB, 2017

$J \gg D \gg K$  **Hierarchy of interactions**

$$m_0 = \frac{K}{J} m_s$$

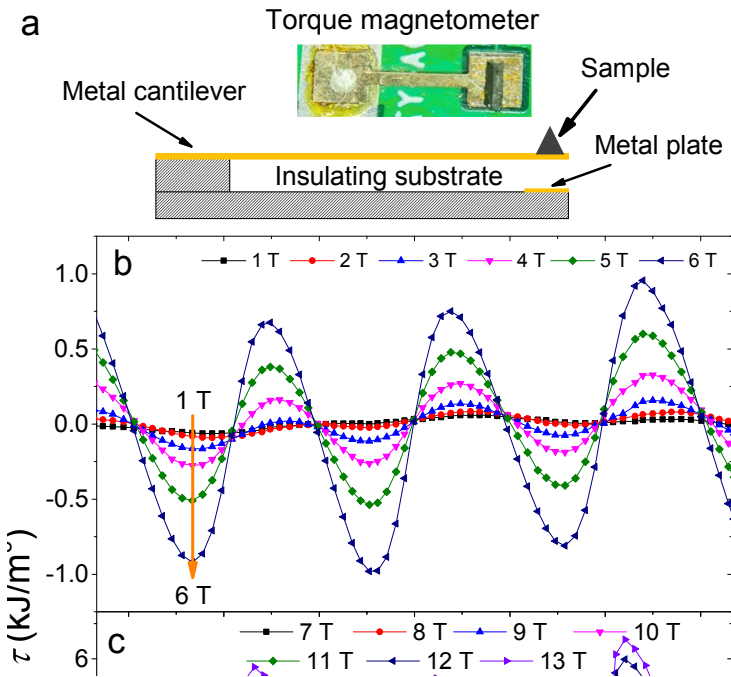
Uniform moment

$$\lambda = \frac{K^3}{12J^2}$$

In-plane anisotropy

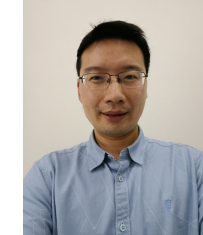
Low coercive field  
despite tiny Zeeman  
energy

# Torque



Kamran Behnia

ESPCI



Zengwei Zhu

Wuhan



Xiaokang Li

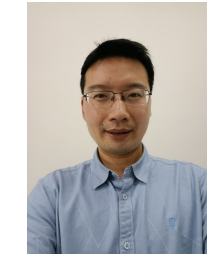
Wuhan

$$\tau = \mathbf{M} \times \mathbf{B}$$

Tracks mis-alignment of  
**M** with **B**.

Total **M** results from twists  
that spoil cancellation of  
antiferromagnetically aligned  
spins.

# Torque



Kamran Behnia

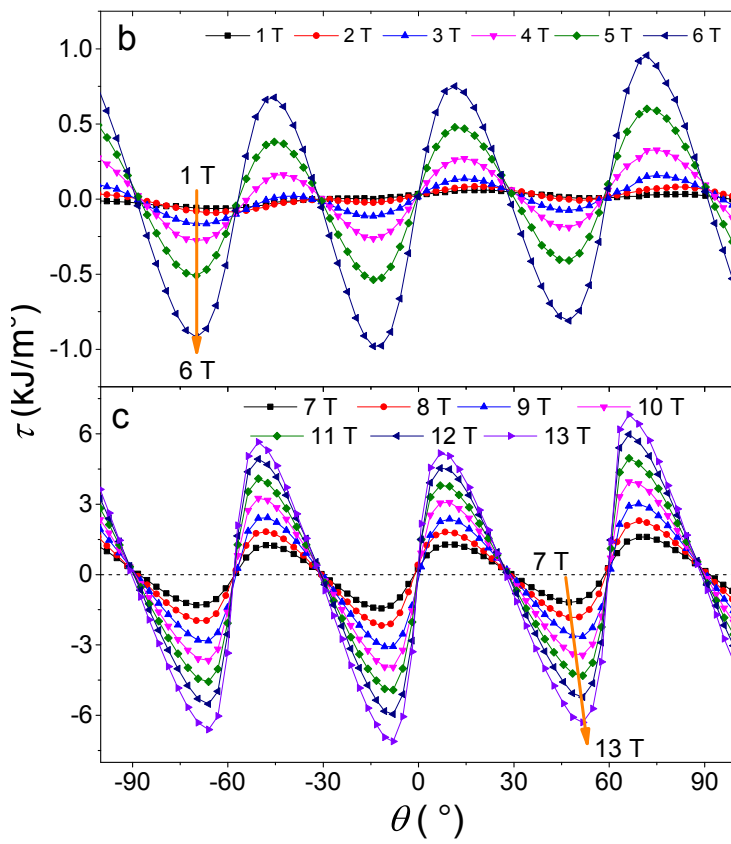
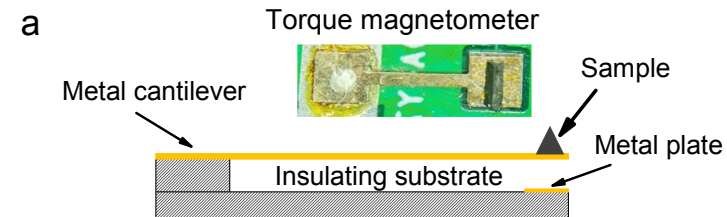
ESPCI

Zengwei Zhu

Wuhan

Xiaokang Li

Wuhan



## The free energy of twisting spins in $\text{Mn}_3\text{Sn}$

Xiaokang Li<sup>1,\*</sup>, Shan Jiang<sup>3,1</sup>, Qingkai Meng<sup>1</sup>, Huakun Zuo<sup>1</sup>, Zengwei Zhu<sup>1,\*</sup>, Leon Balents<sup>2,4</sup> and Kamran Behnia<sup>3</sup>

(1) Wuhan National High Magnetic Field Center and School of Physics,  
Huazhong University of Science and Technology, Wuhan 430074, China

(2) Kavli Institute for Theoretical Physics, University of California, Santa Barbara, California 93106-4030, USA

(3) Laboratoire de Physique et d'Étude des Matériaux

(ESPCI - CNRS - Sorbonne Université), PSL Research University, 75005 Paris, France

(4) Canadian Institute for Advanced Research, Toronto, Ontario, Canada

(Dated: February 25, 2022)

# First explanation

Extension of our expansion from 2017

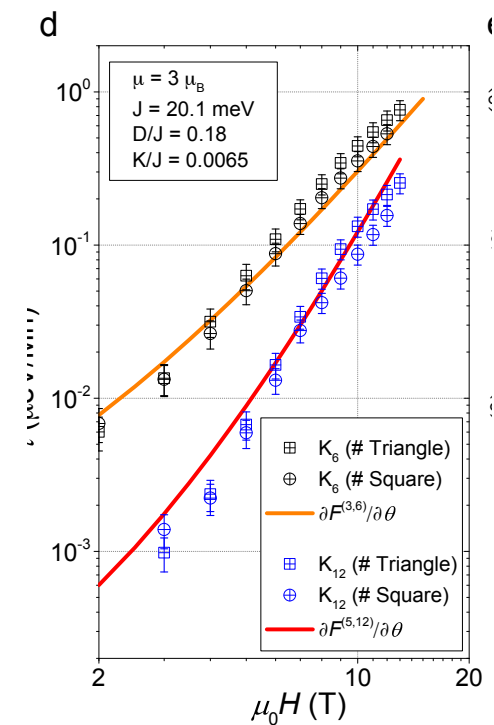
$$\phi_1 = \phi + \eta_1, \quad \phi_2 = \phi - \frac{2\pi}{3} + \eta_2, \quad \phi_3 = \phi - \frac{4\pi}{3} - \eta_1 - \eta_2.$$

$$\eta_i = \sum_{n=1}^{\infty} \eta_{i,n} r^n, \quad E_{u.c.} = \sum_{n=0}^{\infty} E_{u.c.}^{(n)},$$

$$\begin{aligned} E_{u.c.}^{(0)} &= -6J - 6\sqrt{3}D, \\ E_{u.c.}^{(1)} &= -3K, \\ E_{u.c.}^{(2)} &= -\frac{(\mu H)^2 + K^2 + 2\mu HK \cos(\theta + \phi)}{2(\sqrt{3}D + J)}, \\ E_{u.c.}^{(3)} &= -\frac{1}{36(J + \sqrt{3}D)^3} \left[ (3J + 7\sqrt{3}D)K^3 \cos(6\phi) + 6(J + 3\sqrt{3}D)\mu HK^2 \cos(5\phi - \theta) \right. \\ &\quad \left. + 3(J + 5\sqrt{3}D)(\mu H)^2 K \cos(4\phi - 2\theta) + 4\sqrt{3}D(\mu H)^3 \cos(3\phi - 3\theta) \right]. \end{aligned}$$

Perturbatively solve  
 $\phi(\theta)$

$$\begin{aligned} E_{u.c.} &= -6J - 6\sqrt{3}D - 3K - \frac{(\mu H + K)^2}{2(J + \sqrt{3}D)} \left[ 1 + \frac{(3J + 7\sqrt{3}D)K + 4\sqrt{3}D\mu H}{18(J + \sqrt{3}D)^2} \cos(6\theta) \right. \\ &\quad \left. + \frac{((3J + 7\sqrt{3}D)K^2 + 2(J + 4\sqrt{3}D)\mu HK + 2\sqrt{3}D(\mu H)^2)^2}{36(J + \sqrt{3}D)^4 \mu HK} \sin^2(6\theta) \right]. \end{aligned}$$



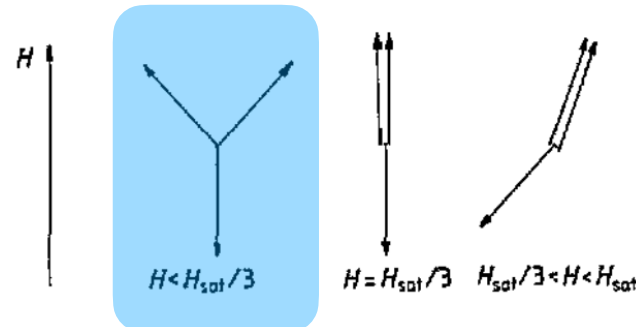
# Angular transitions

A little simpler picture

Heisenberg model

$$E_{\text{tri}} = \frac{J}{2} \left( \mathbf{S}_1 + \mathbf{S}_2 + \mathbf{S}_3 - \frac{1}{J} \mathbf{h} \right)^2$$

“Order by disorder”: thermal and quantum fluctuations favor coplanar states



**Figure 1.** Reorientation process in the magnetic field in 2D Heisenberg AFM on a triangular lattice. Zero-point fluctuations stabilize the collinear phase in the finite region  $H_1 < H < H_2$  in the vicinity of  $H_{\text{sat}}/3$ .

A. Chubukov and I. Golosov, 1991

# Experiments

PHYSICAL REVIEW B 92, 014414 (2015)

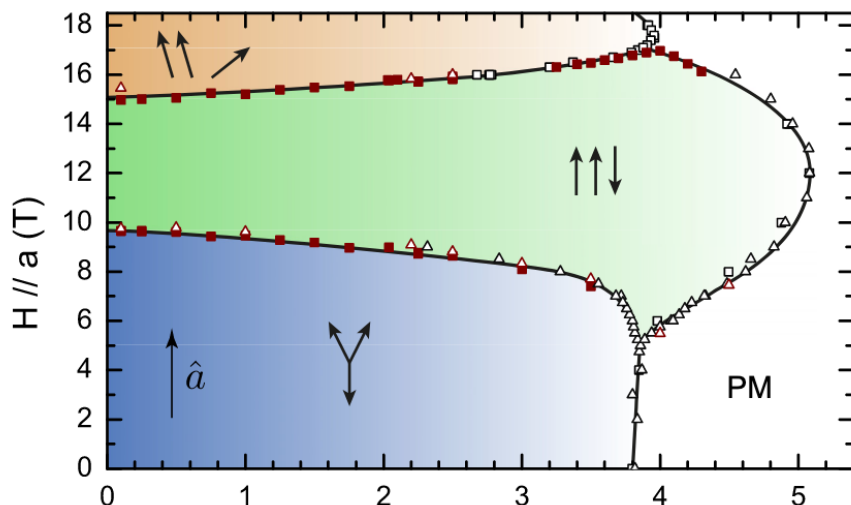
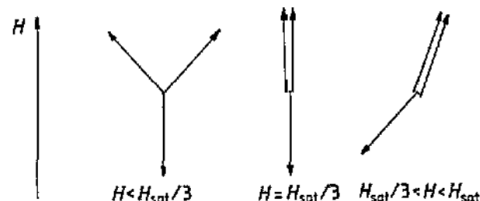
## Magnetic phase diagram of $\text{Ba}_3\text{CoSb}_2\text{O}_9$ as determined by ultrasound velocity measurements

G. Quirion,<sup>\*</sup> M. Lapointe-Major, M. Poirier, and J. A. Quilliam  
Département de Physique, Université de Sherbrooke, Sherbrooke, Québec, Canada J1K 2R1

Z. L. Dun and H. D. Zhou  
Department of Physics and Astronomy, University of Tennessee, Knoxville, Tennessee, 37996-1200, USA  
(Received 8 April 2015; revised manuscript received 26 May 2015; published 13 July 2015)

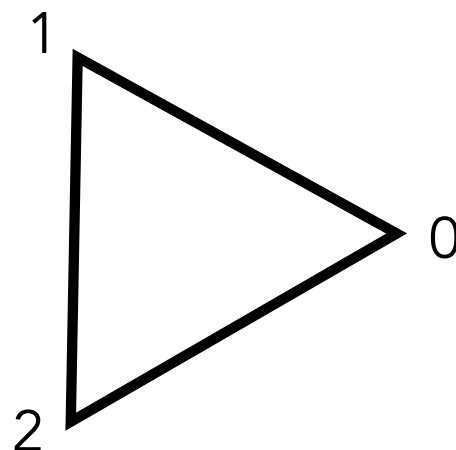
Numerous examples  
amongst insulating  
anti-ferromagnets

c.f.



**Figure 1.** Reorientation process in the magnetic field in 2D Heisenberg AFM on a triangular lattice. Zero-point fluctuations stabilize the collinear phase in the finite region  $H_1 < H < H_2$  in the vicinity of  $H_{\text{sat}}/3$ .

# Energy and symmetries: Heisenberg limit



$$\langle \mathbf{S}_n \rangle = \operatorname{Re} \left[ \mathbf{d} e^{\frac{2\pi i n}{3}} \right]$$

$$\mathbf{d} \cdot \mathbf{d} = 0.$$

$$\mathbf{d} = \mathbf{u} + i\mathbf{v}$$

$$\text{SO}(3) \quad \mathbf{S}_n \rightarrow \mathbf{0} \mathbf{S}_n$$

$$S_3 \quad \mathbf{S}_n \rightarrow \mathbf{S}_{P(n)}$$

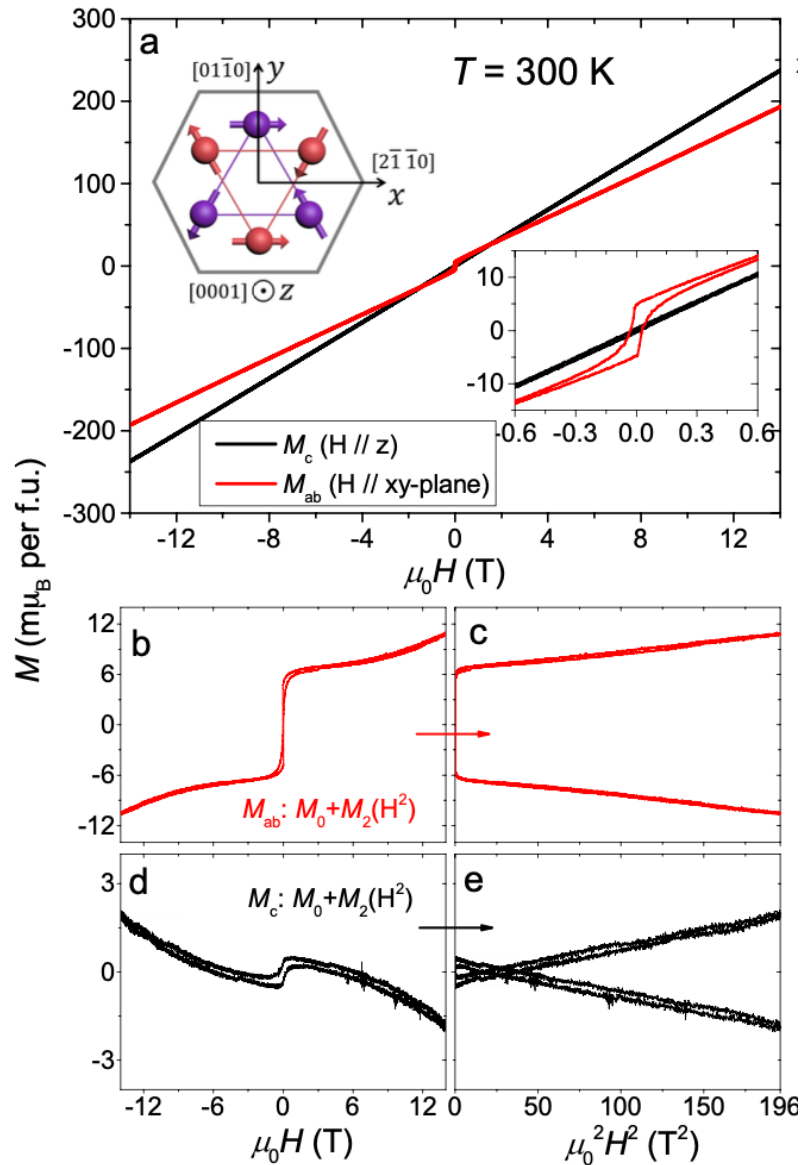
$$F_h^{\text{iso}} = c_1 |\mathbf{h} \cdot \mathbf{d}|^2 + c_2 \operatorname{Re} \left[ (\mathbf{h} \cdot \mathbf{d})^3 \right] + O(h^4)$$

Selects plane      Selects angle in plane

$$c_1 < 0 \quad c_2 > 0$$

Coefficients are “large”: arise from  $J \gg D, K$

# Quadratic magnetization



Thermodynamics:

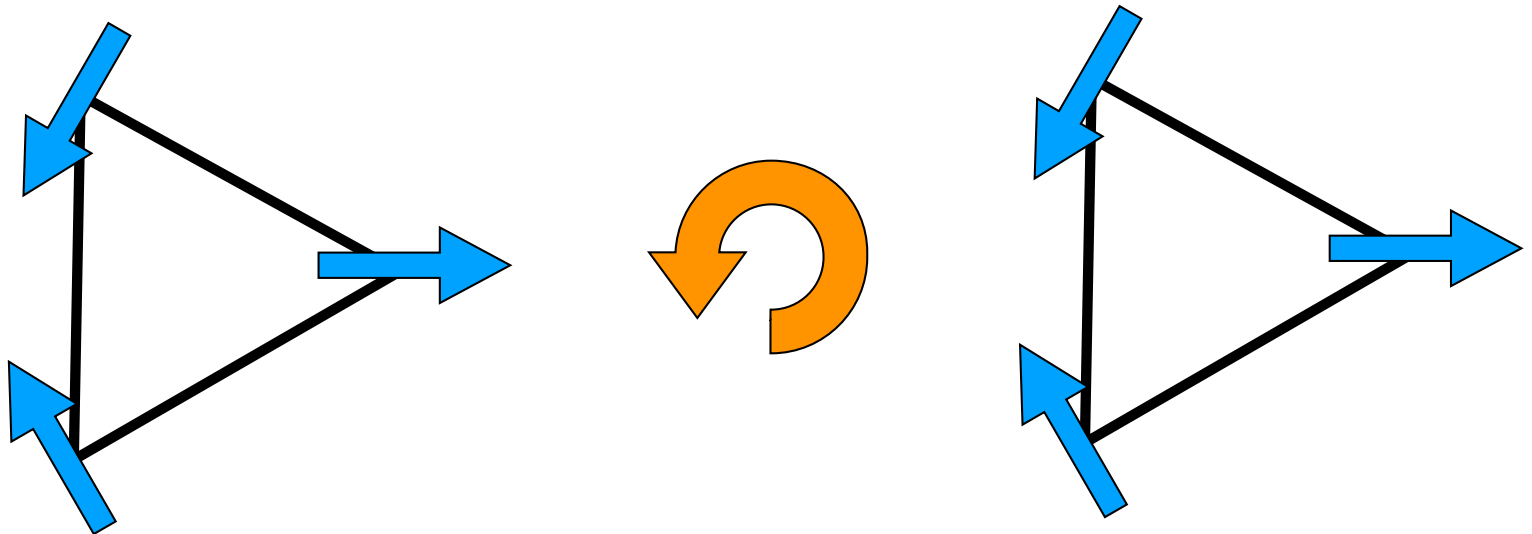
$$M = -\frac{\partial F}{\partial H}$$

$$\sim c_1 H + c_2 H^2$$

Can directly see the energy responsible for order by disorder !

# Anti-chiral state

Favored by  $D > 0$      $d = d e^{i\phi} (\hat{x} + i\hat{y})$



counter-clockwise rigid rotation = clockwise spin rotation

$$d_{\pm} = d_x \pm i d_y \quad h_{\pm} = h_x \pm i h_y$$

Re[  $h_+ d_+$  ] is an invariant

# Full angular free energy

$$d_+ = ne^{i\phi}$$

$$d_- = d_z = 0$$

$$h_+ = he^{i\theta}$$

Zero field anisotropy  
(Negligible)

$$f_+ = -w \cos 6\phi - uh \cos(\phi + \theta) - vh^3 \cos 3(\phi - \theta)$$

Anti-chiral  
magnetization

Heisenberg  
response

$$u \sim \frac{K}{J}$$

# Full angular free energy

$$d_+ = ne^{i\phi} \quad h_+ = he^{i\theta}$$

$$d_- = d_z = 0$$

$$f_+ = -uh \cos(\phi + \theta) - vh^3 \cos 3(\phi - \theta),$$

Anti-chiral	Heisenberg
magnetization	response

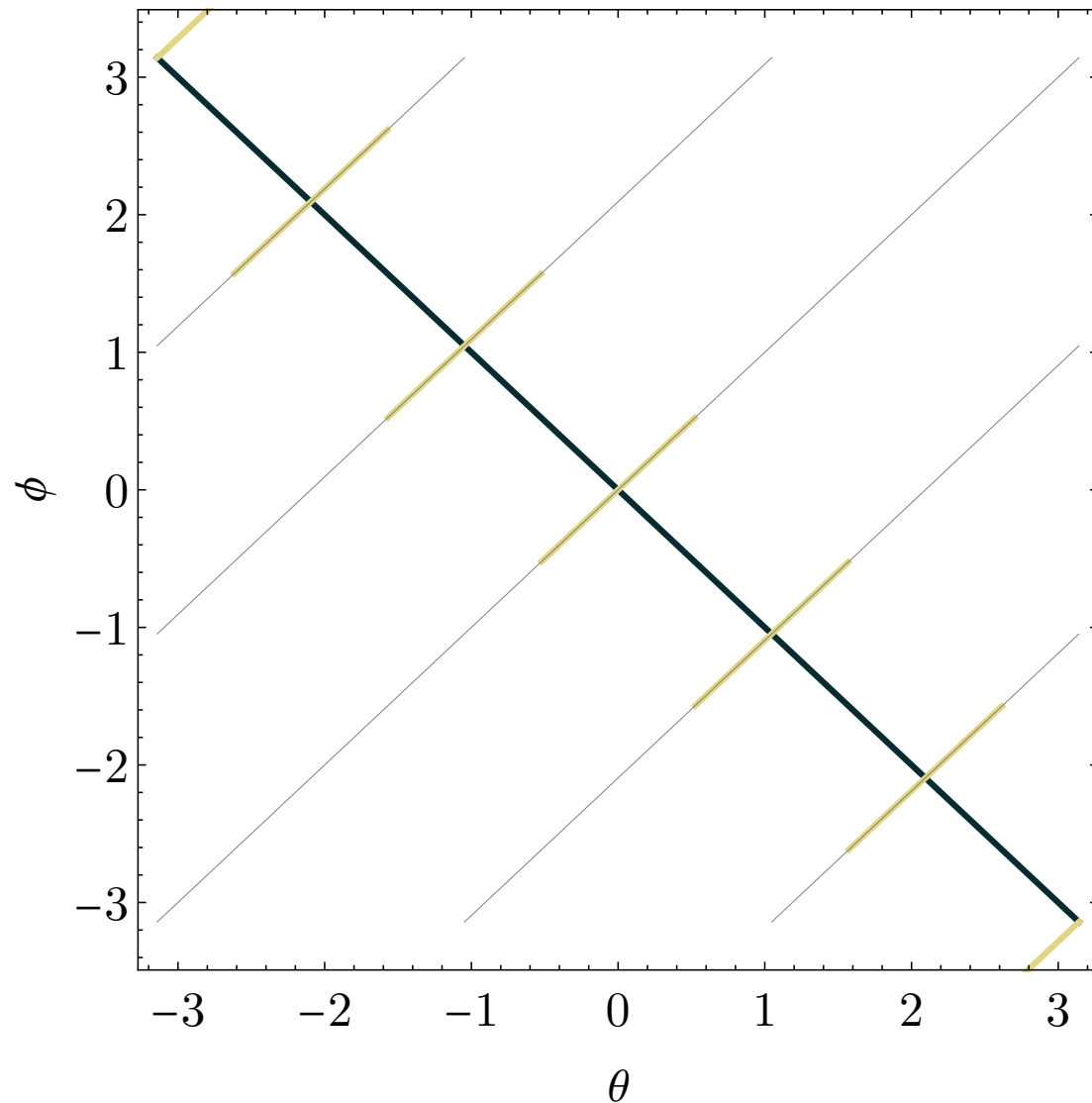
small h:

large  $h$ :

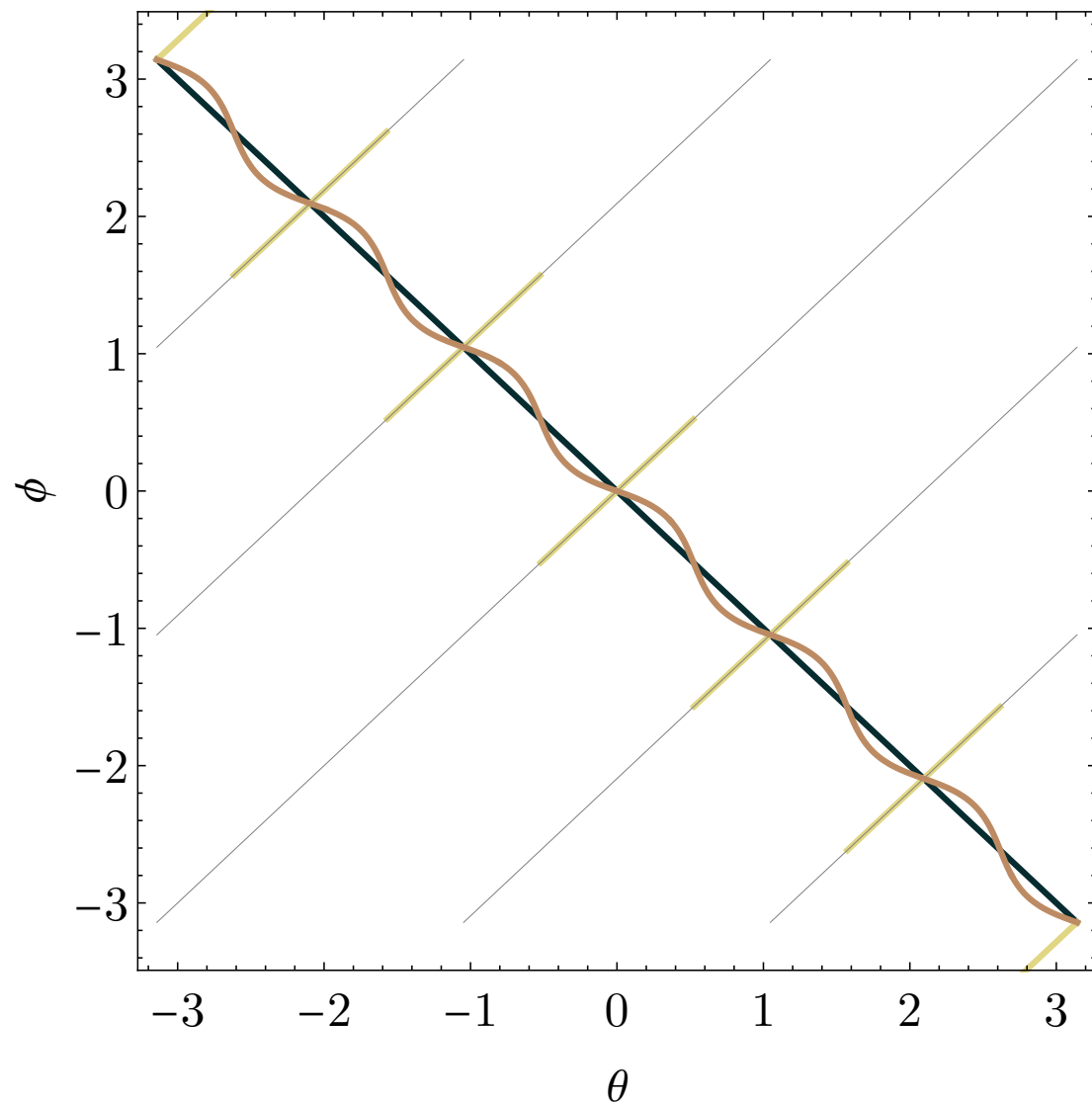
$$\phi \approx -\theta$$

$$\phi \approx \theta + \frac{2\pi k}{3}$$

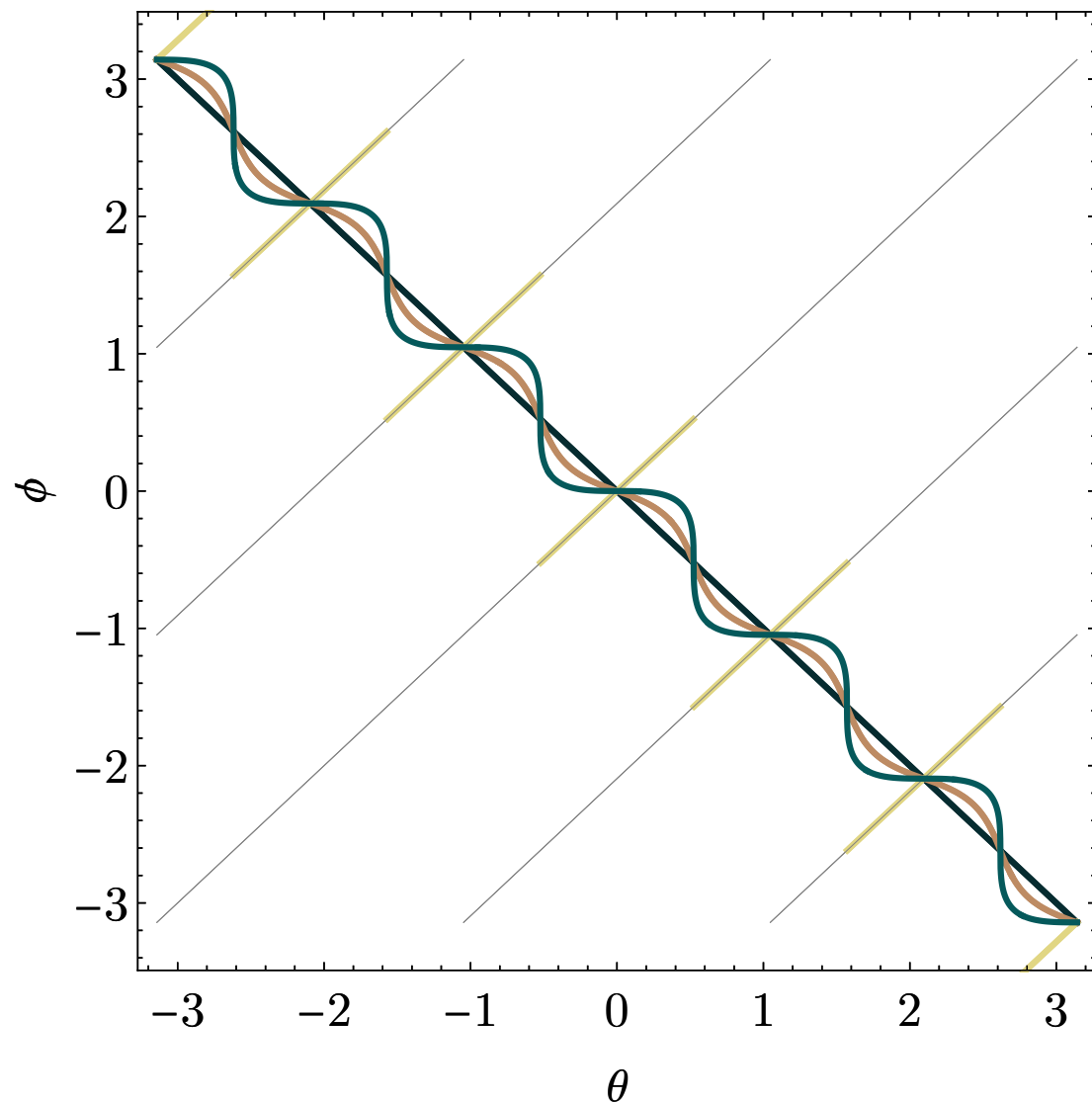
# Angular evolution



# Angular evolution

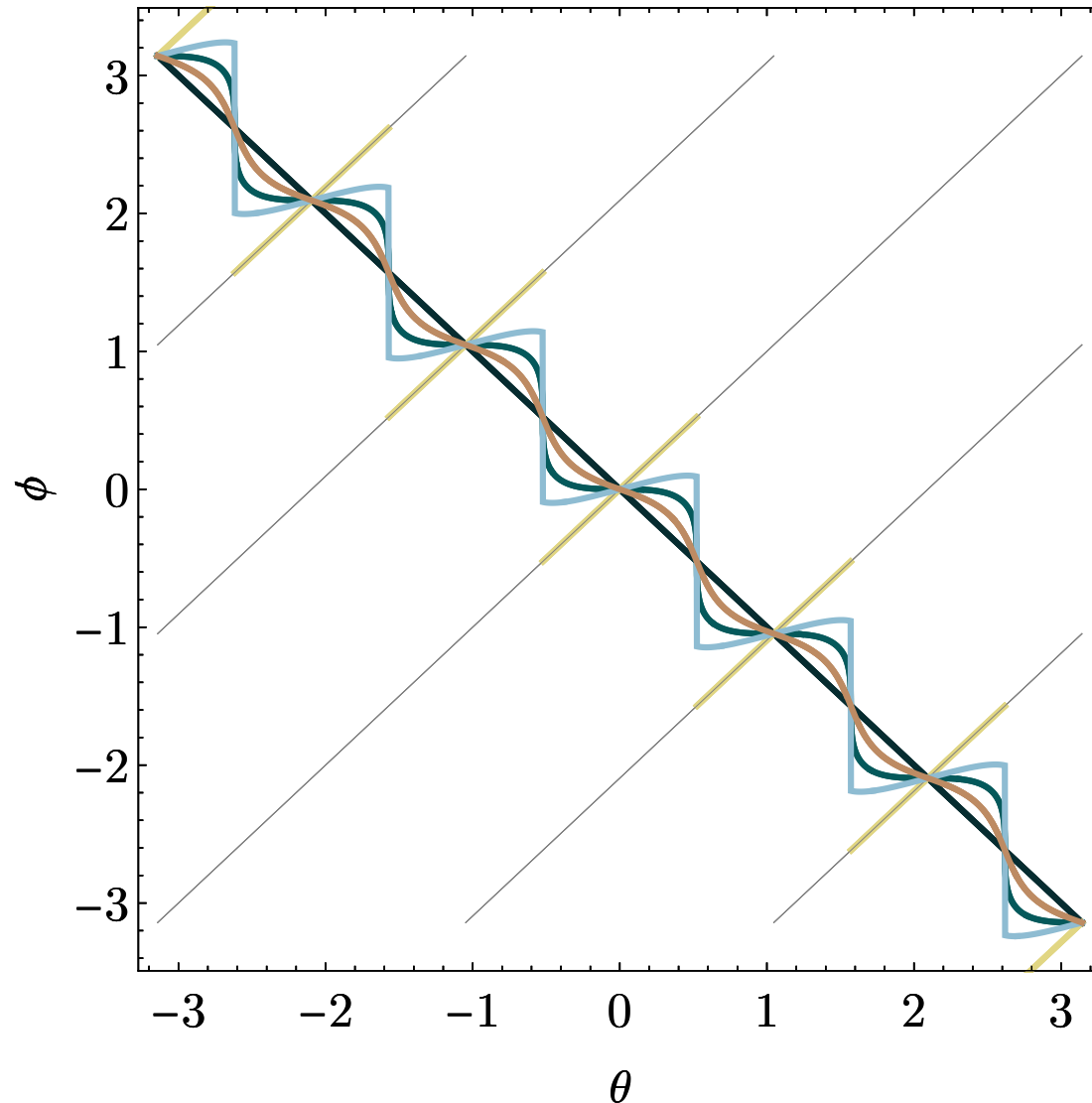


# Angular evolution

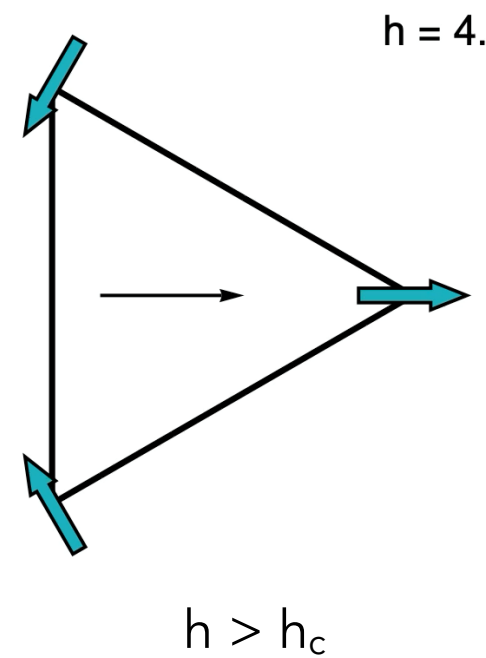
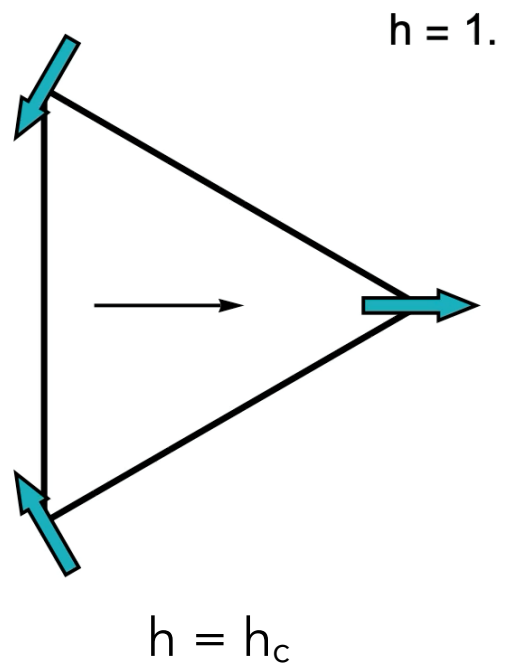
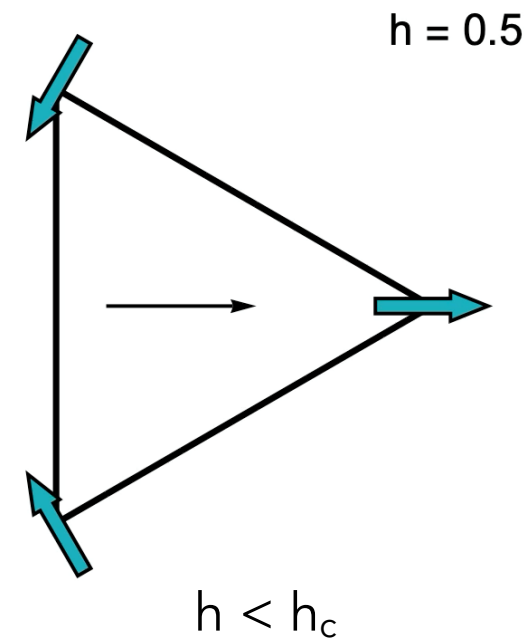
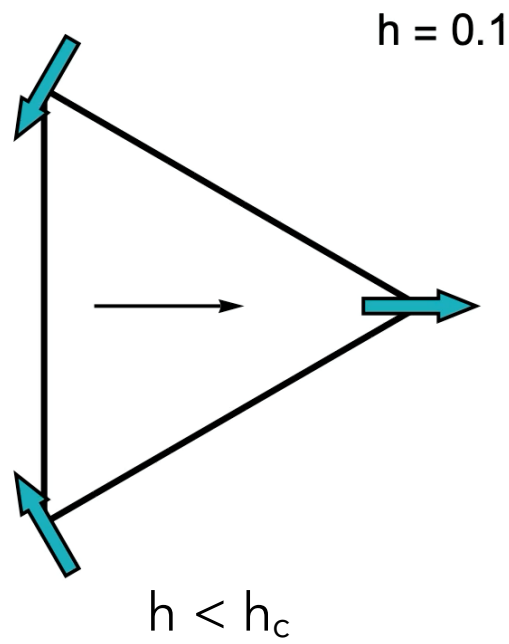


# Angular evolution

$$\theta = \frac{\pi}{6} + \frac{\pi m}{3}$$



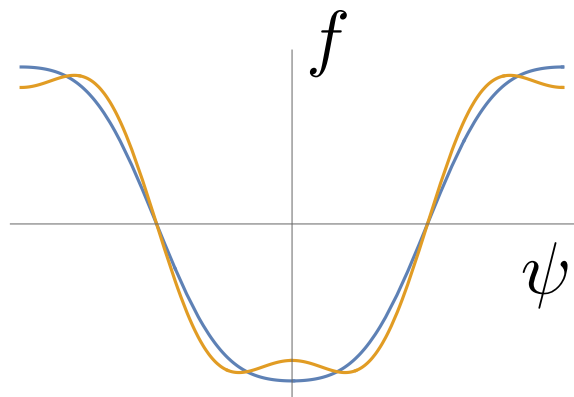
$h > h_{\text{crit}}$   
Jumps at  
 $\theta = \frac{\pi}{6} + \frac{\pi m}{3}$



# How do the jumps onset?

$$\psi = \phi + \theta, \quad \theta = \pi/6 + \delta \quad x = \sqrt{v/u}h^2$$

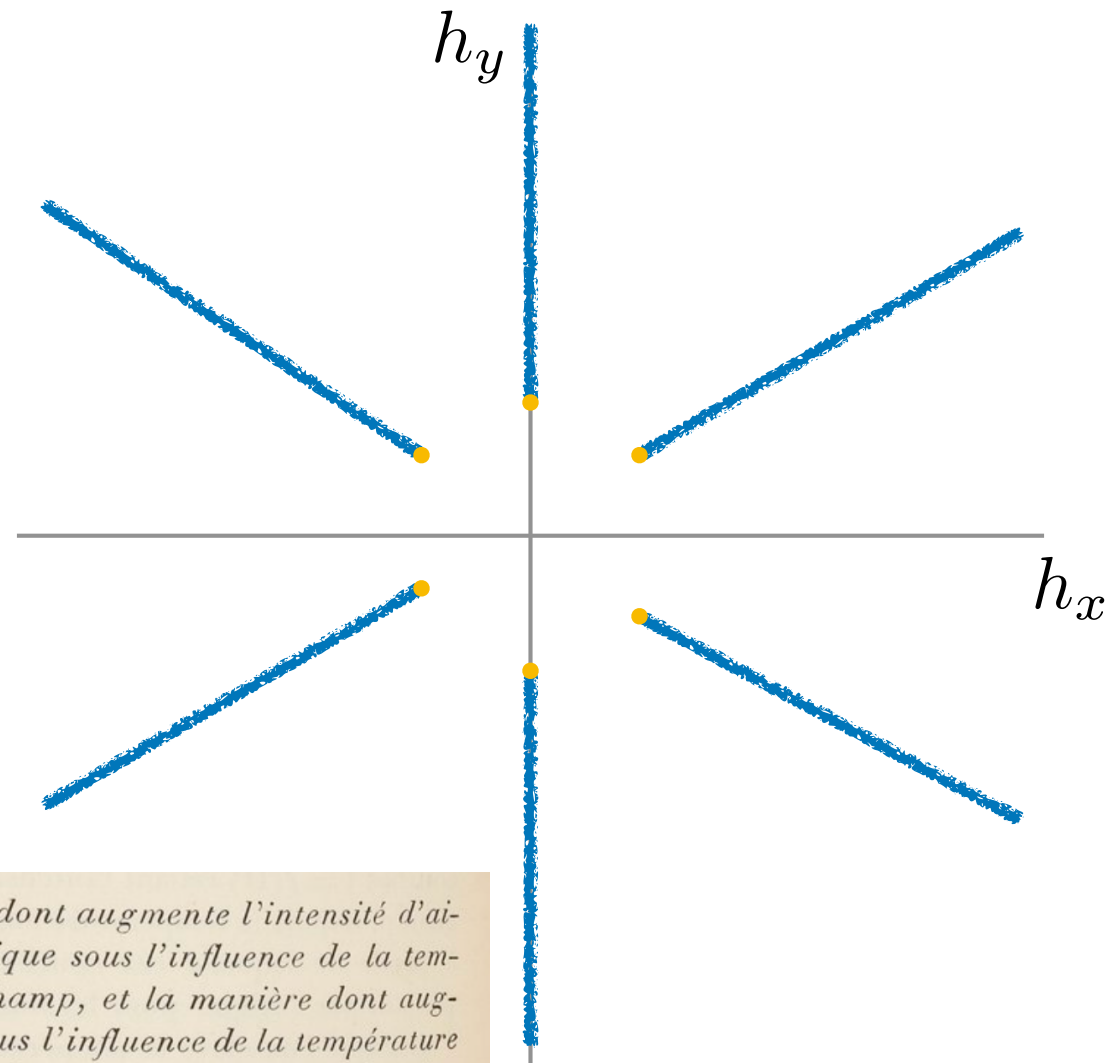
$$\begin{aligned} \frac{f}{uh} &= -\cos \psi + x \cos 6\delta \cos 3\psi + x \sin 6\delta \sin 3\psi \\ &= -\cos \psi + x \cos 3\psi \quad (\delta = 0) \end{aligned}$$



Ising transition  
at  $x=1/9$

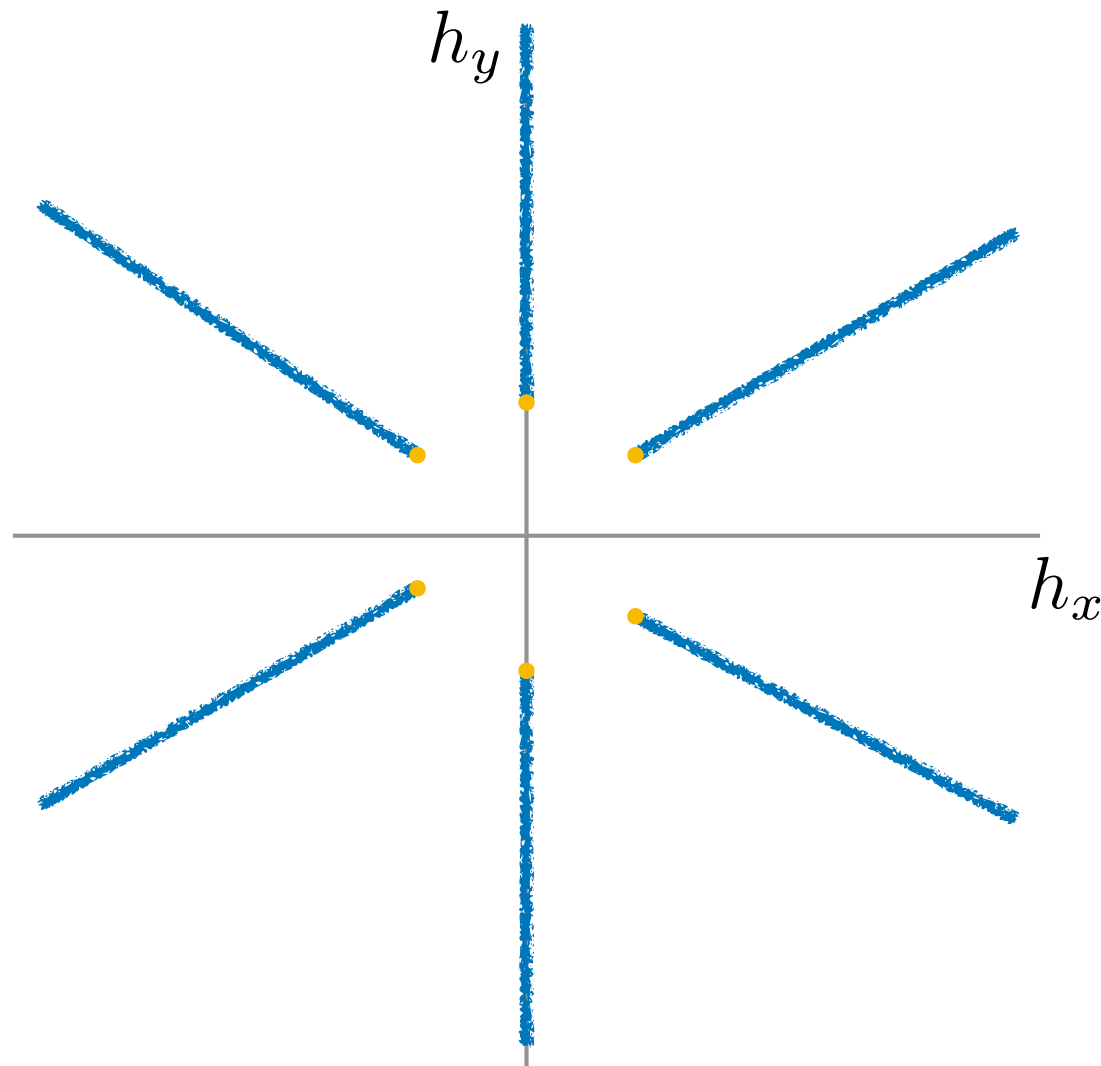
$\delta$  acts as symmetry breaking field

# Phase diagram



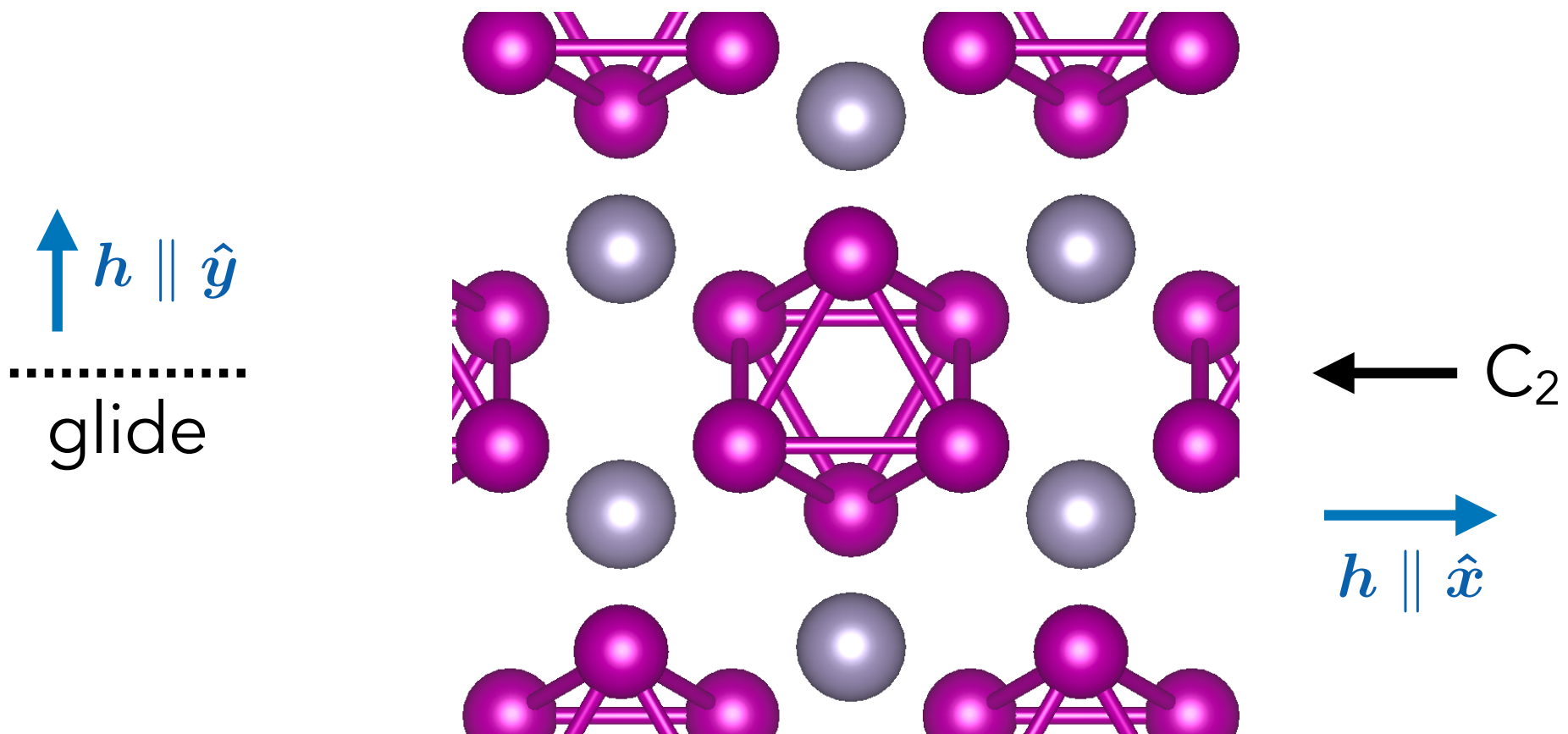
*Analogie entre la manière dont augmente l'intensité d'aimantation d'un corps magnétique sous l'influence de la température et de l'intensité du champ, et la manière dont augmente la densité d'un fluide sous l'influence de la température et de la pression. — Il y a des analogies entre la fonction  $f(I, H, T) = 0$  relative à un corps magnétique et la fonction  $f(D, p, T) = 0$  relative à un fluide. L'intensité d'aimantation  $I$*

# Phase diagram

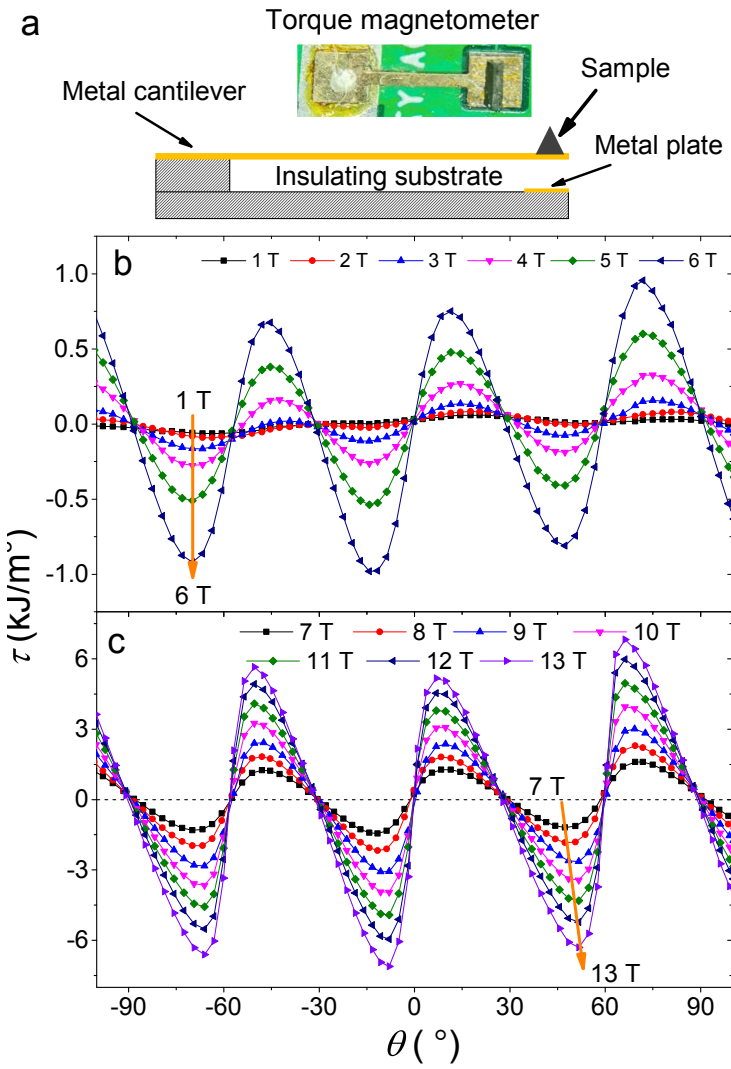


What symmetry is broken along the lines?

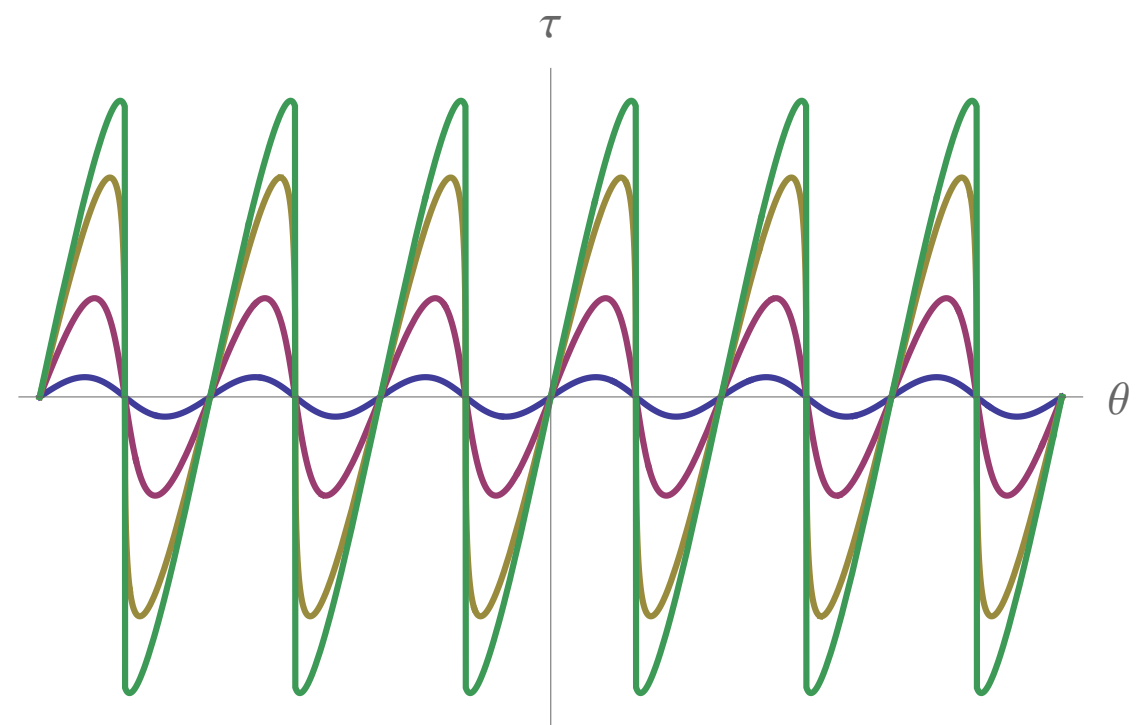
# $\text{Mn}_3\text{Sn}$ structure



# Torque

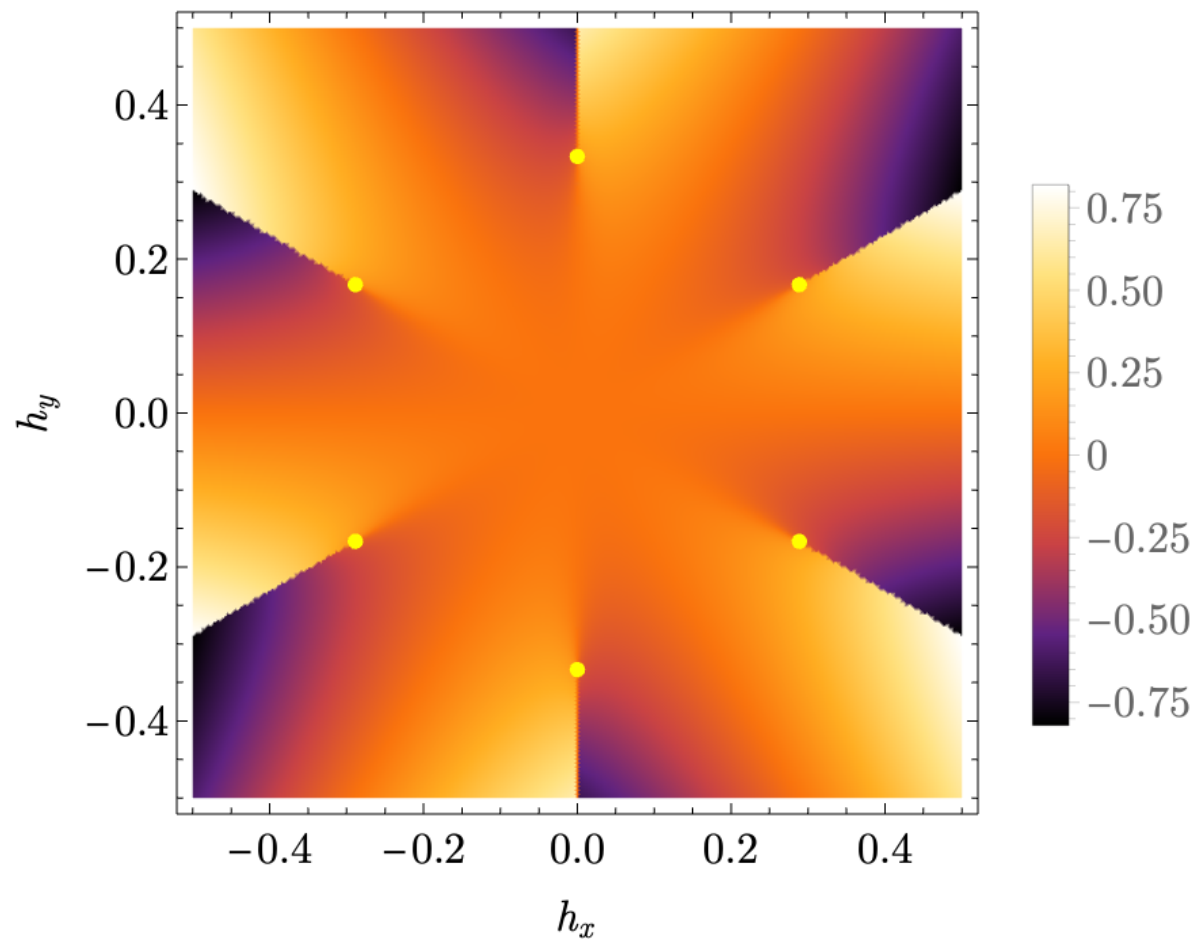


$$\tau = \frac{df}{d\theta}$$



Discontinuities for  $h > h_c$

# Estimate

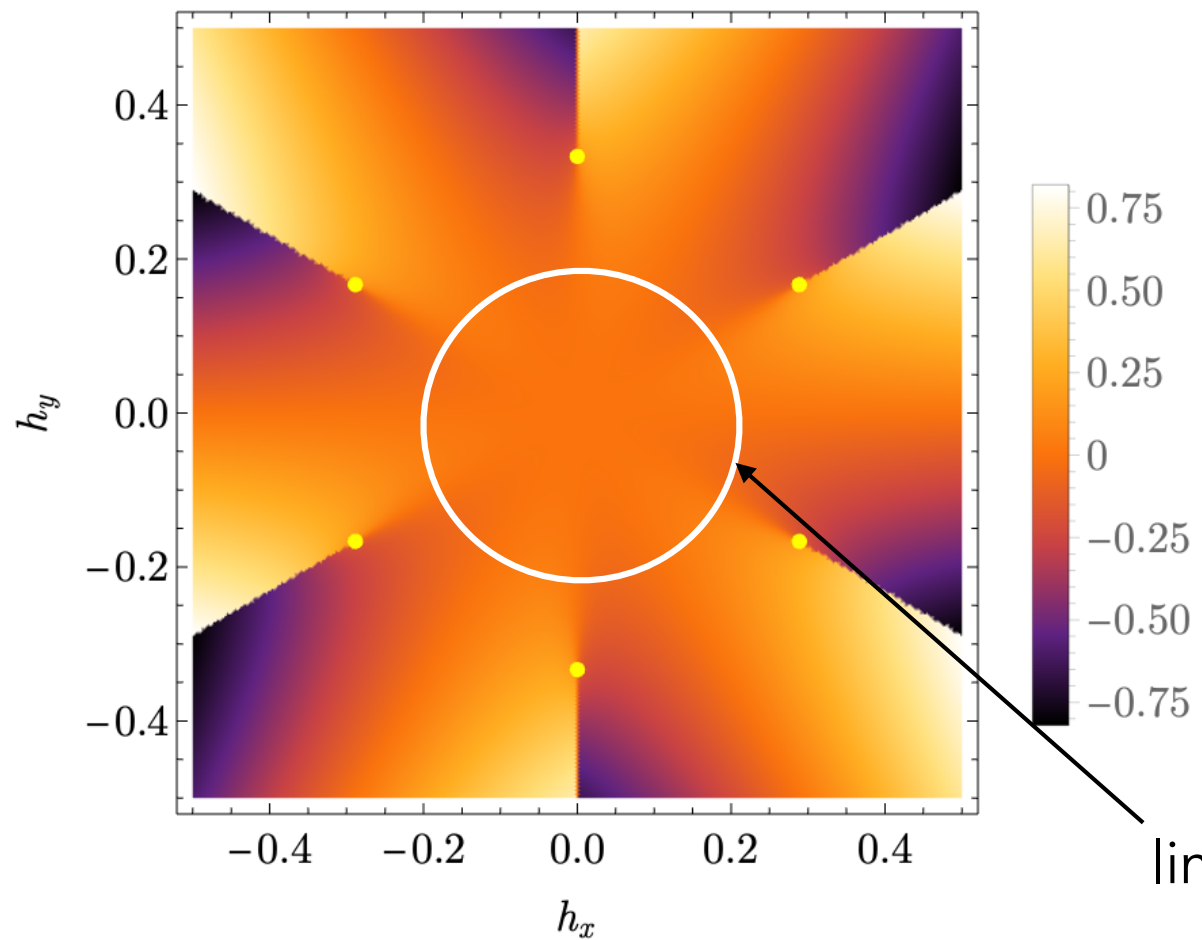


Classical,  $T=0$

$$H_c = \frac{J + \sqrt{3}D}{g\mu_B} \sqrt{\frac{K}{D}}$$

$\approx 20\text{T}$

# Estimate



$$H_c = \frac{J + \sqrt{3}D}{g\mu_B} \sqrt{\frac{K}{D}}$$

$\approx 20\text{T}$

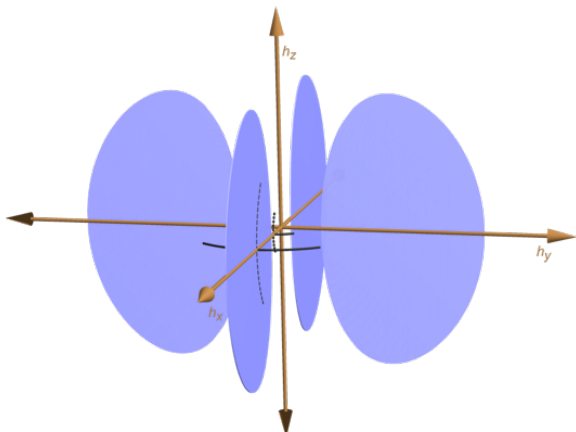
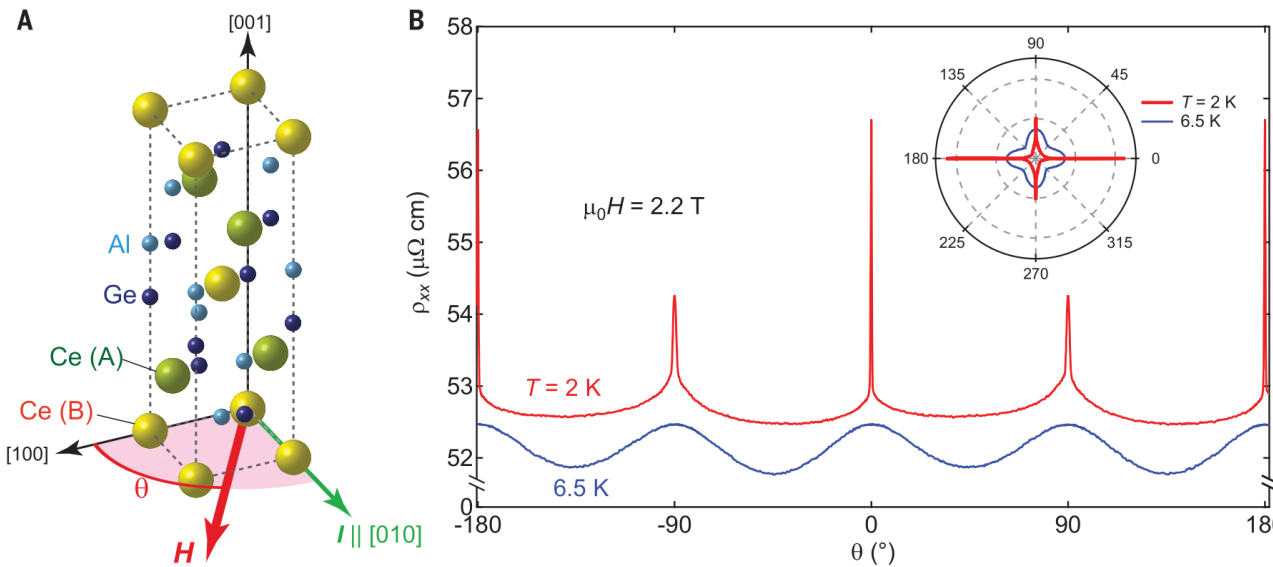
Hope to observe these transitions in future experiments

c.f.

MAGNETISM

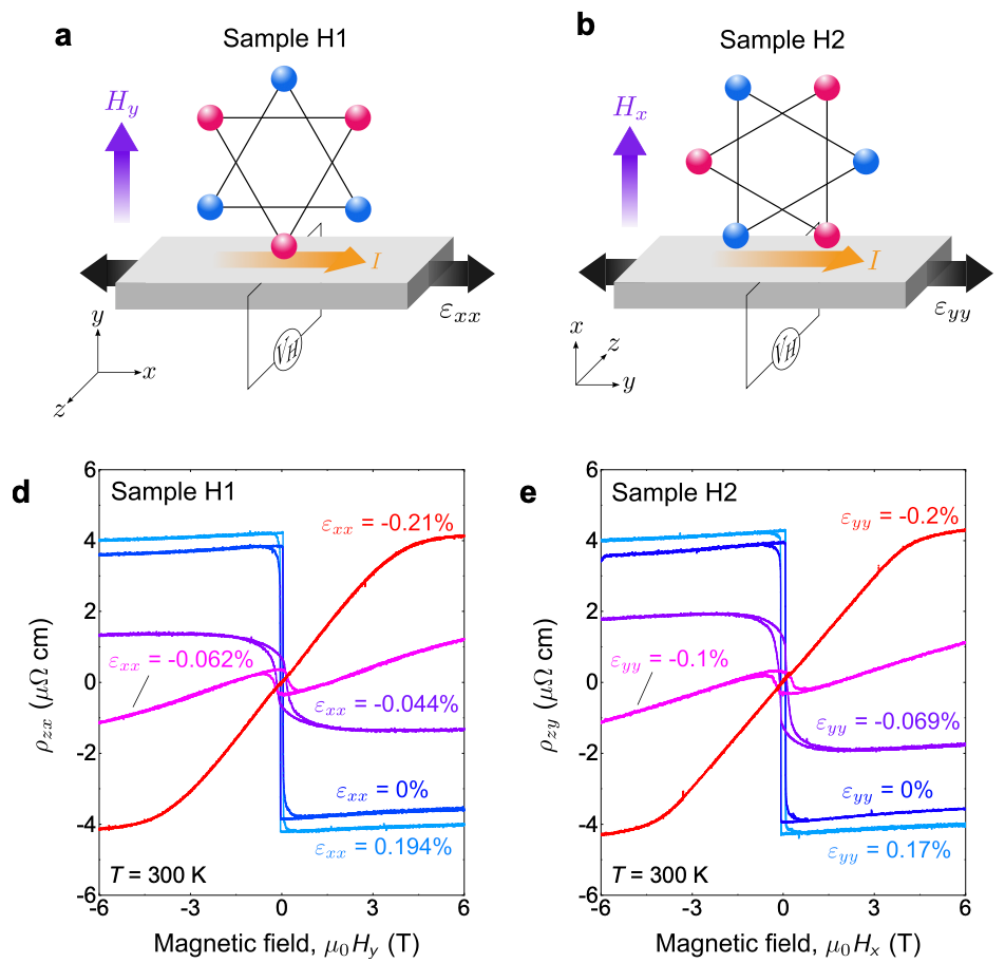
# Singular angular magnetoresistance in a magnetic nodal semimetal

T. Suzuki<sup>1</sup>, L. Savary<sup>1,2,3</sup>, J.-P. Liu<sup>2,4</sup>, J. W. Lynn<sup>5</sup>, L. Balents<sup>2</sup>, J. G. Checkelsky<sup>1\*</sup>



Would be interesting to search for  
transport signatures in  $\text{Mn}_3\text{Sn}$

# Strain control



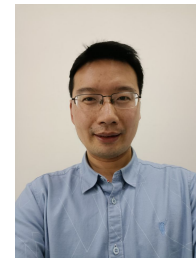
Strain also twists spins,  
allowing separate control  
of magnetization and Berry  
curvature

# Outline

- Twisting spins in  $Mn_3Sn$  with a magnetic field
- Multiple energy scales enable control of anomalous Hall effect



Kamran Behnia  
ESPCI



Zengwei Zhu  
Wuhan



Xiaokang Li  
Wuhan

- Twisting layers of spins in 2d materials
- Twists control new spin textures

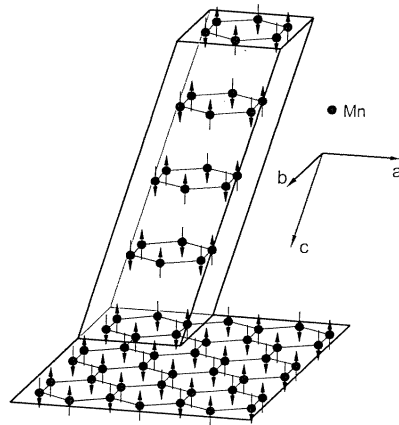


Kasra Hejazi  
Caltech

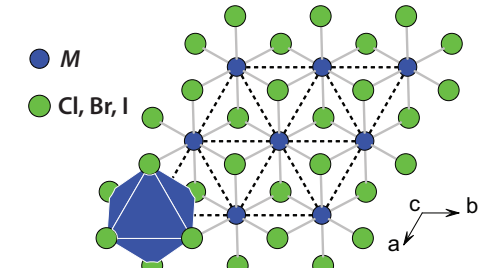


Zhu-Xi Luo  
UCSB

# 2d VdW magnets



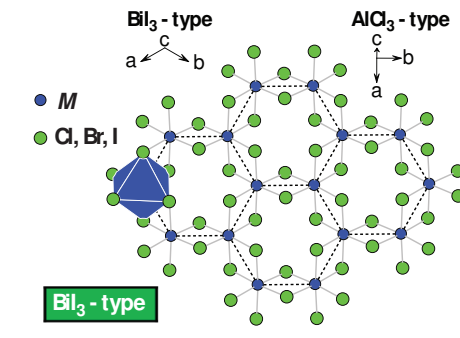
$MCl_2$							
Ti	V	Cr	Mn	Fe	Co	Ni	
Zr	Nb	Mo	Tc	Ru	Rh	Pd	
Hf	Ta	W	Re	Os	Ir	Pt	

  
 $MBr_2$ 


MnPS<sub>3</sub>, FePS<sub>3</sub>, NiPS<sub>3</sub>, CoPS<sub>3</sub>, CrSiTe<sub>3</sub>...

$MCl_3$							
Ti	V	Cr	Mn	Fe	Co	Ni	
Zr	Nb	Mo	Tc	Ru	Rh	Pd	
Hf	Ta	W	Re	Os	Ir	Pt	

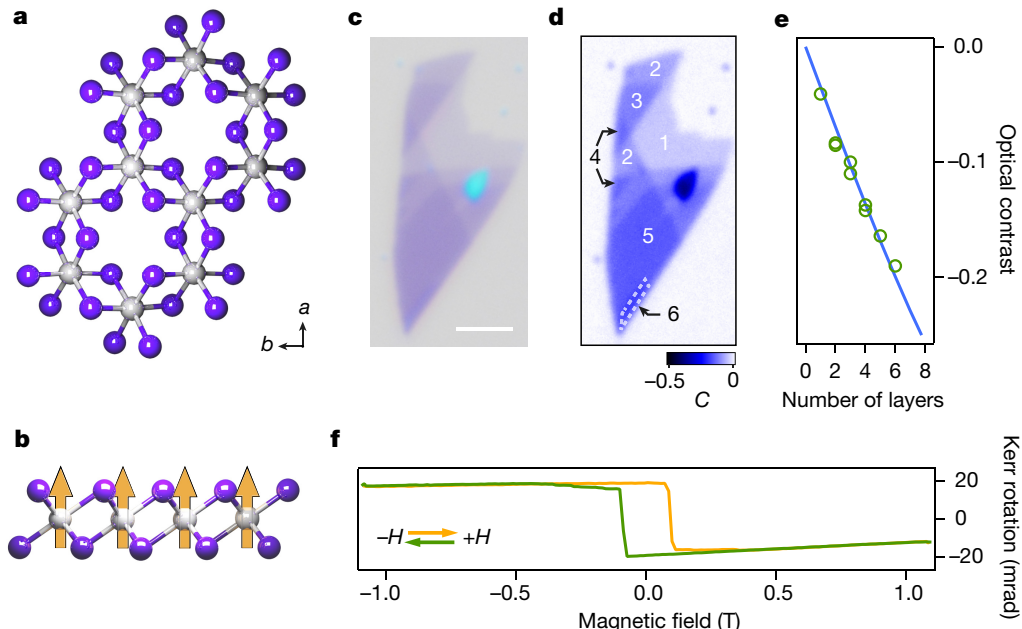
$MBr_3$						
Ti	V	Cr	Mn	Fe	Co	Ni



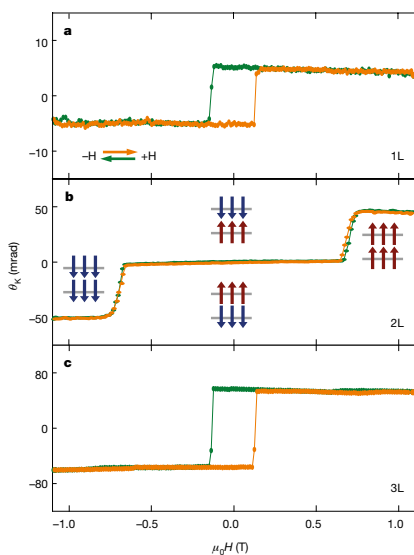
CrI<sub>3</sub>, RuCl<sub>3</sub>,...

# CrI<sub>3</sub>

B. Huang et al, 2017



1L



2L

Still ferromagnetic in single layer

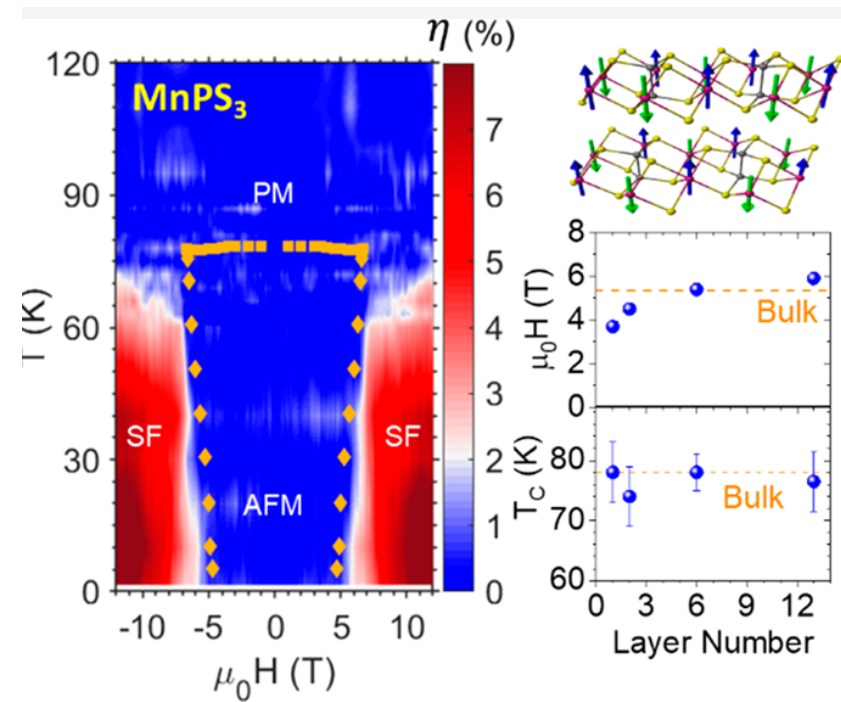
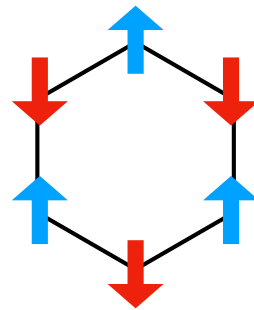
Surprise: bilayer is anti-ferromagnetic

3L

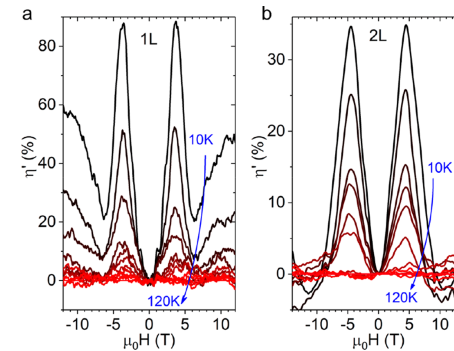
# MnPS<sub>3</sub>

G. Long et al, 2020

antiferromagnetic  
honeycomb



order persists to single layer



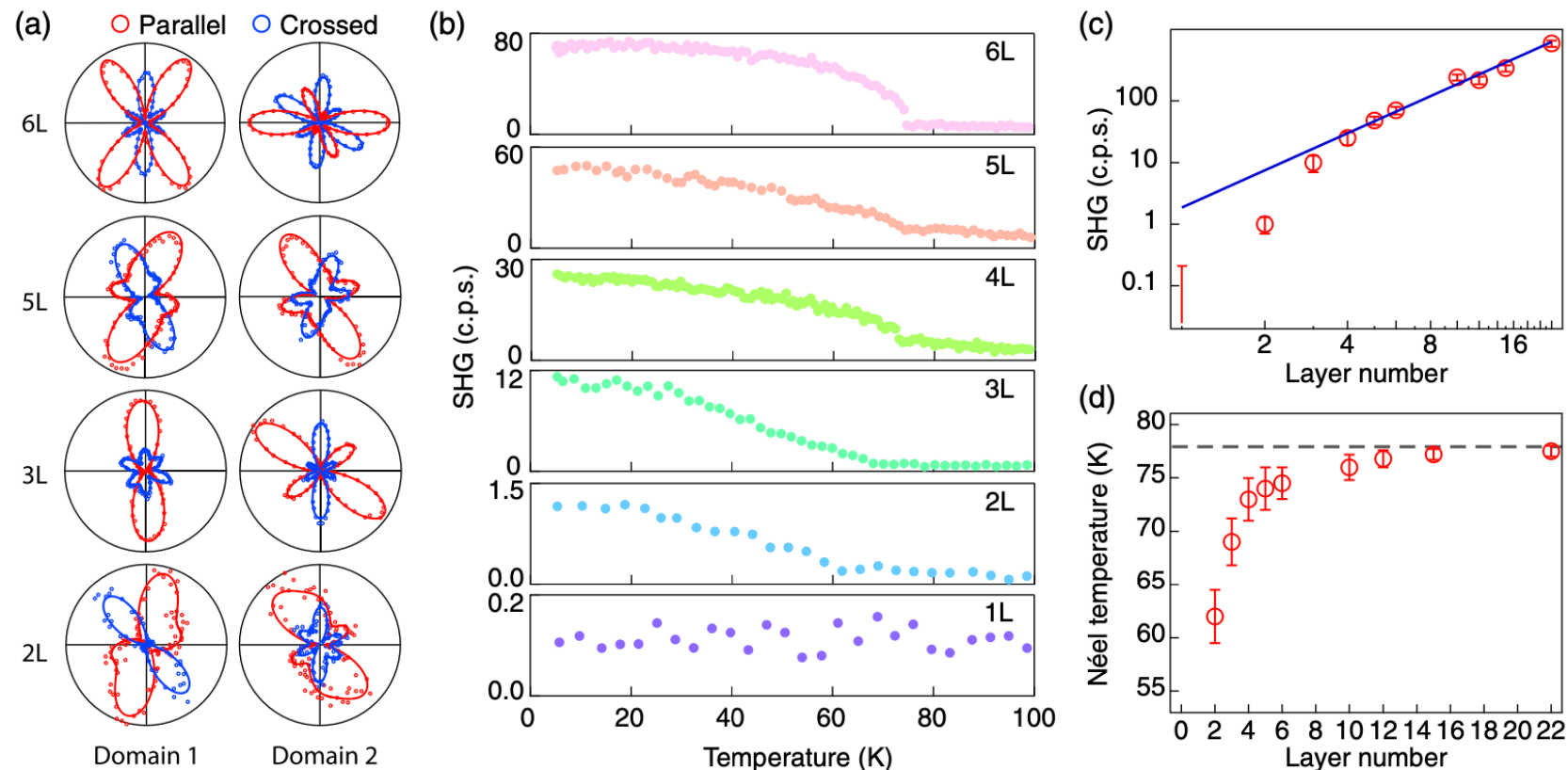
tunneling MR

# MnPS<sub>3</sub>

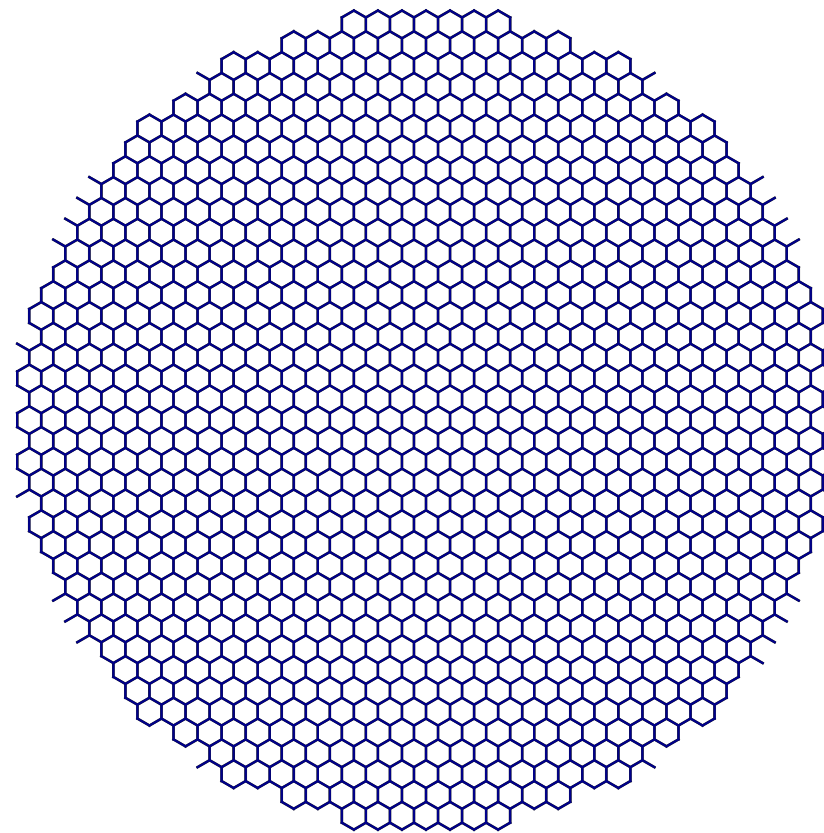
## Direct Imaging of Antiferromagnetic Domains and Anomalous Layer-Dependent Mirror Symmetry Breaking in Atomically Thin MnPS<sub>3</sub>

Zhuoliang Ni<sup>1</sup>, Huiqin Zhang<sup>2</sup>, David A. Hopper<sup>1,2</sup>, Amanda V. Haglund<sup>3</sup>, Nan Huang<sup>3</sup>, Deep Jariwala<sup>2</sup>, Lee C. Bassett<sup>2</sup>, David G. Mandrus<sup>3,4</sup>, Eugene J. Mele<sup>1</sup>, Charles L. Kane<sup>1</sup>, and Liang Wu<sup>1,\*</sup>

PHYSICAL REVIEW LETTERS 127, 187201 (2021)



# Twisting and moiré



# Moiré



mohair

# Le retour de la moire



Le grand retour de la moire chez vous

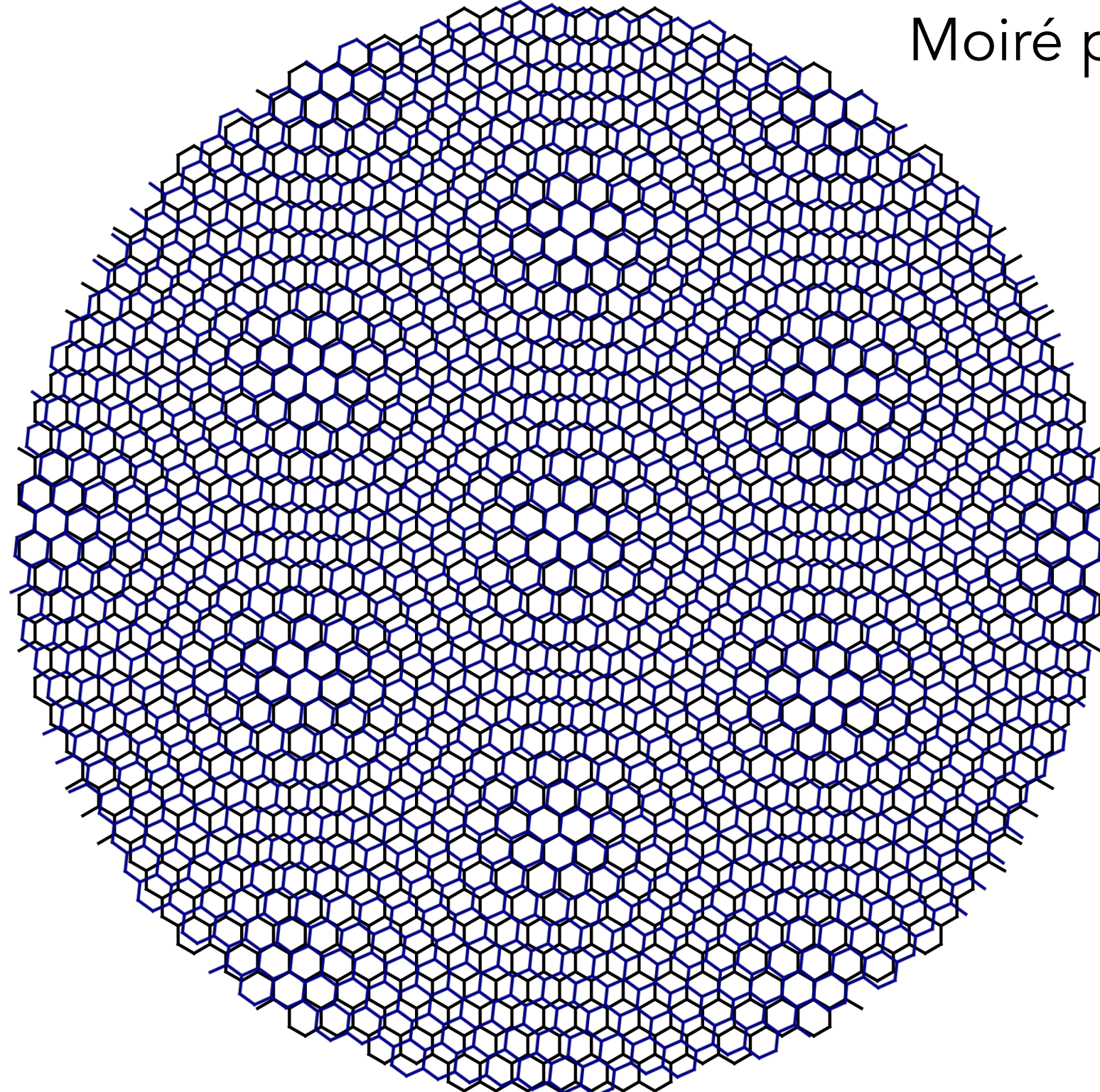
La moire : Un tissu d'exception pour des murs, des rideaux et des meubles originaux





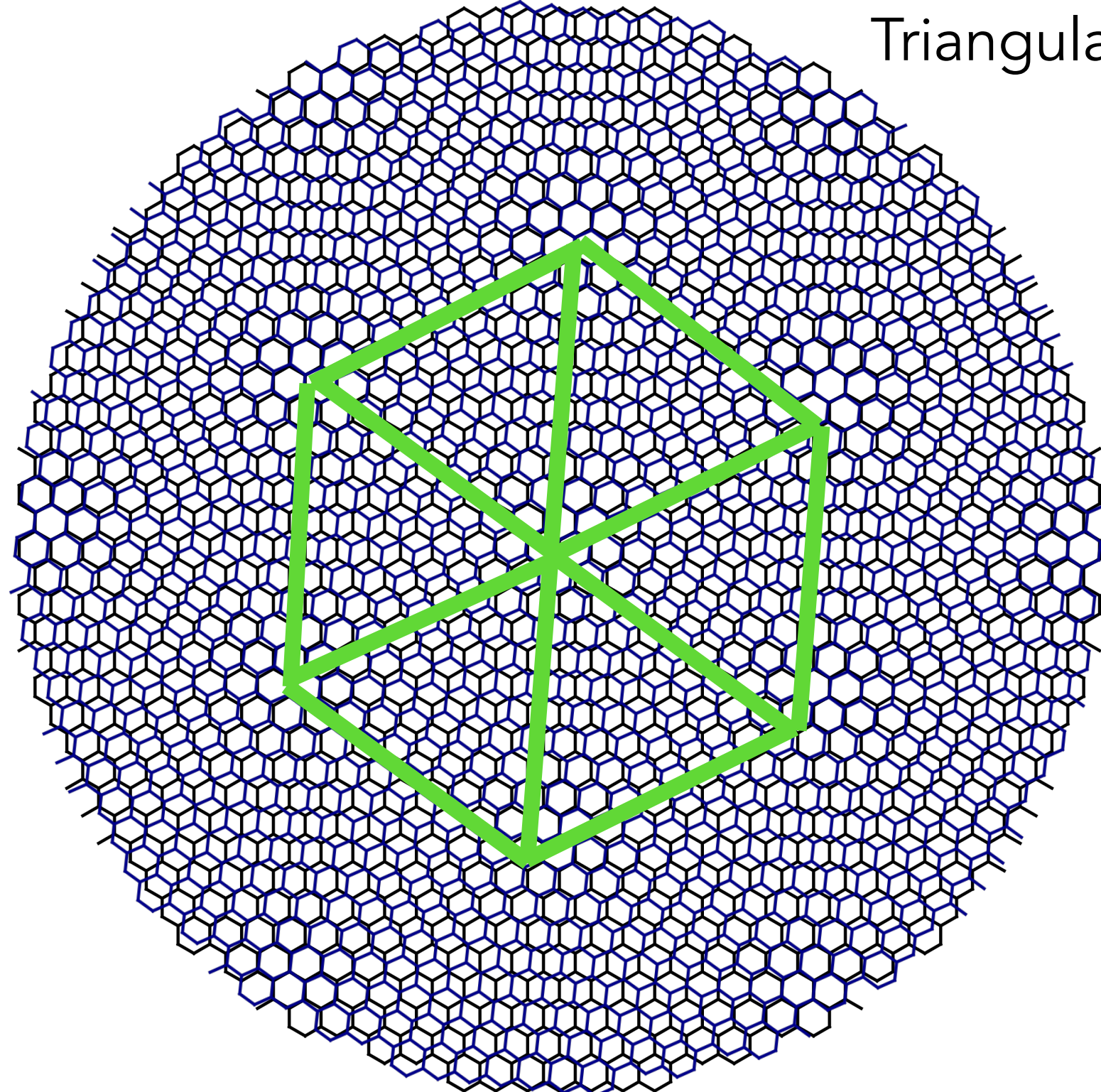
Moiré pattern

6°

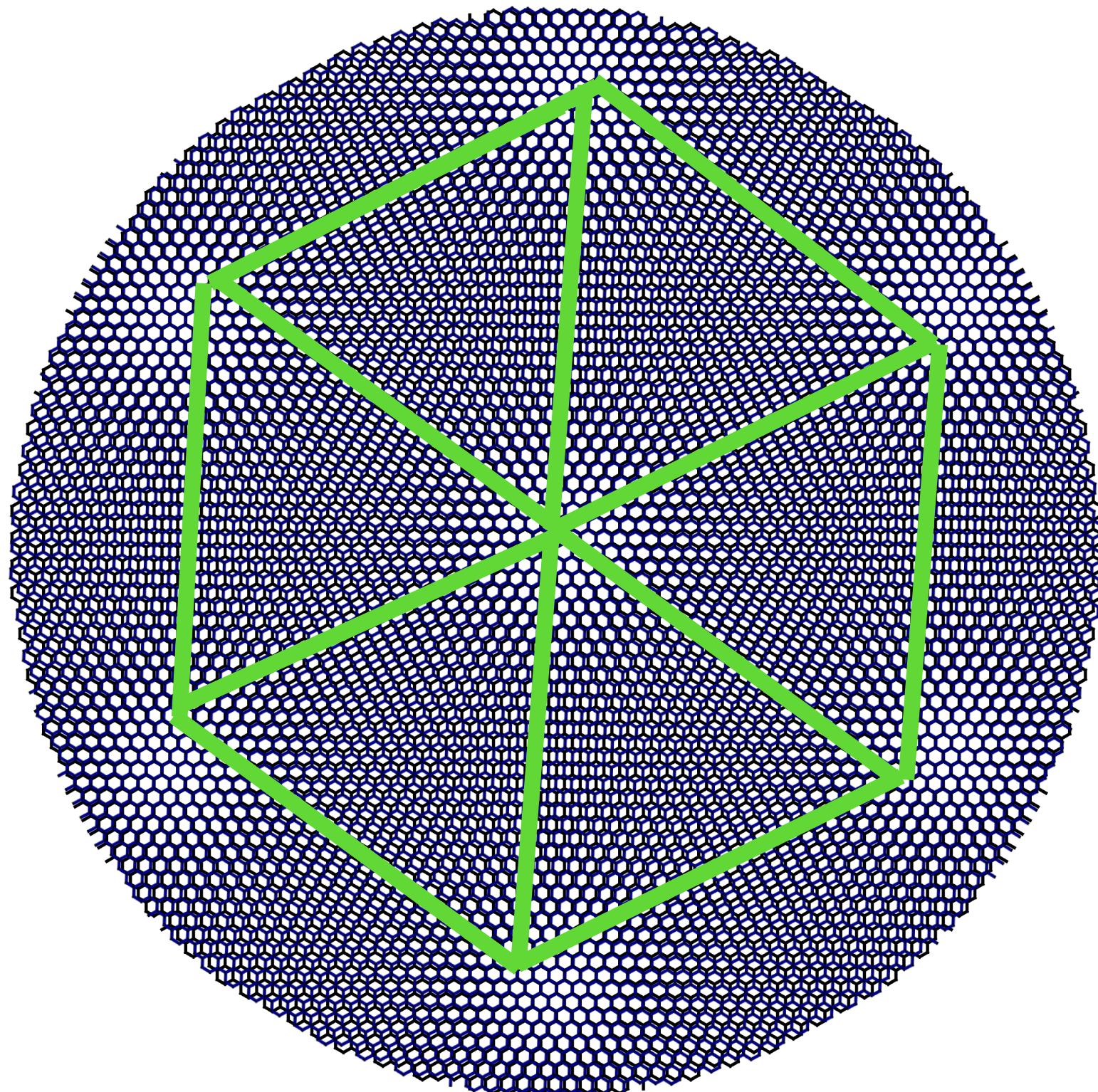


Triangular lattice

6°



2°



1°

$a_m = 13.4\text{nm}$

huge unit cell

6°

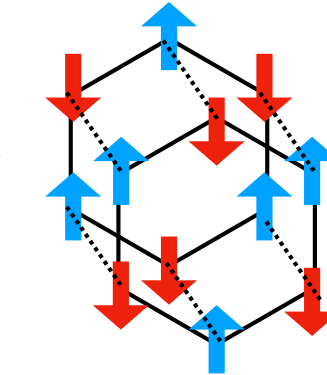
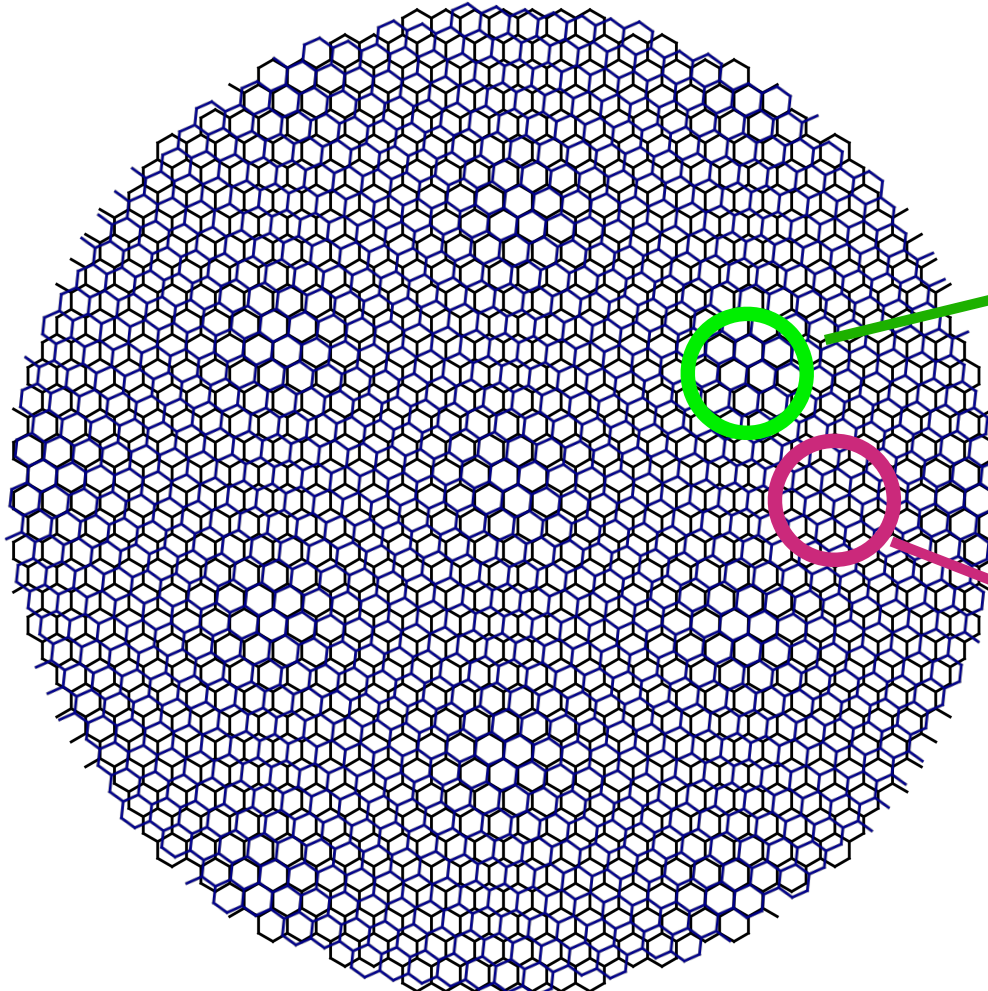
# Twisted AF



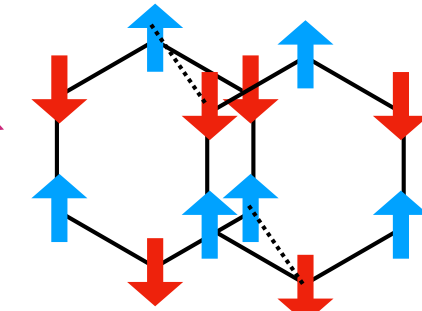
Kasra Hejazi



Zhu-Xi Luo



$$N_1 = -N_2$$



$$N_1 = N_2$$

Frustration: Neél vectors must rotate

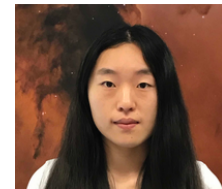
# Continuum model(s)

- Basic assumptions:

- Inter-layer coupling weak  $J' \ll J$



Kasra Hejazi



Zhu-Xi Luo

- Rotation angle is small (can also treat general strains)

- Example:  $\text{MnPS}_3$ : excellent Heisenberg AF

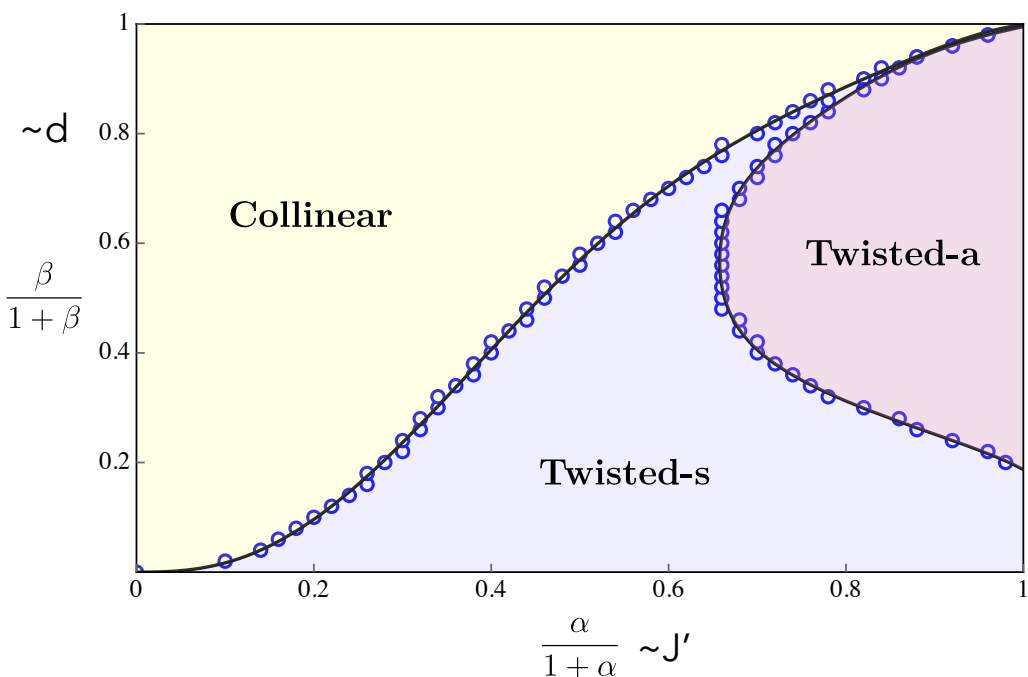
$$\mathcal{L} = \sum_l \frac{\rho}{2v^2} (\partial_t \mathbf{N}_l)^2 - \mathcal{H}_{\text{cl}} \quad \mathcal{H}_{\text{cl}} = \sum_l \left[ \frac{\rho}{2} (\nabla \mathbf{N}_l)^2 - d (N_l^z)^2 \right] - J' \Phi(\mathbf{x}) \mathbf{N}_1 \cdot \mathbf{N}_2$$
$$\Phi(\mathbf{x}) = \sum_{a=1}^3 \cos(\mathbf{q}_a \cdot \mathbf{x})$$

Can predict spin textures, magnon subbands, etc.

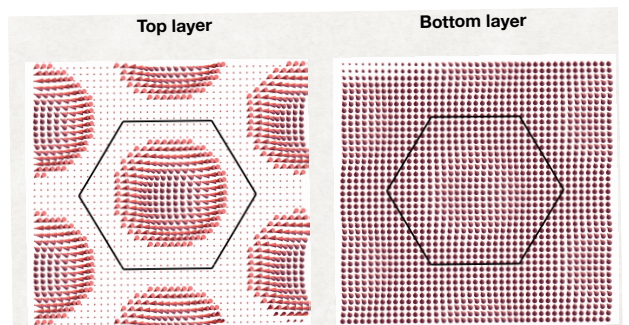
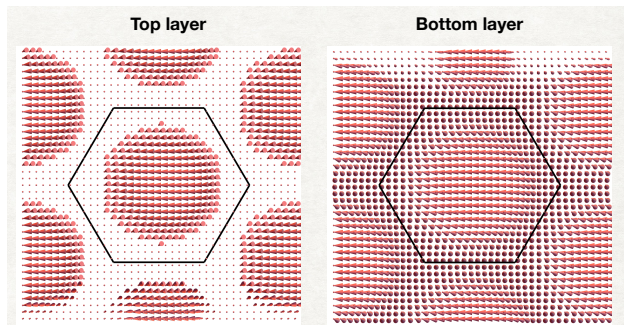
# Twisted AF

$$\mathcal{H}_{\text{cl}} = \sum_l \left[ \frac{\rho}{2} (\nabla \mathbf{N}_l)^2 - d (N_l^z)^2 \right] - J' \Phi(\mathbf{x}) \mathbf{N}_1 \cdot \mathbf{N}_2$$

Dimensionless parameter  $\alpha = \frac{2J'}{\rho q_m^2} \sim \frac{J'}{J \theta^2}$

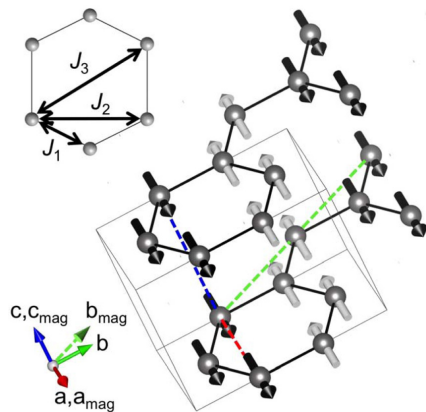


Coplanar spin textures



Transitions should be tunable by applied field

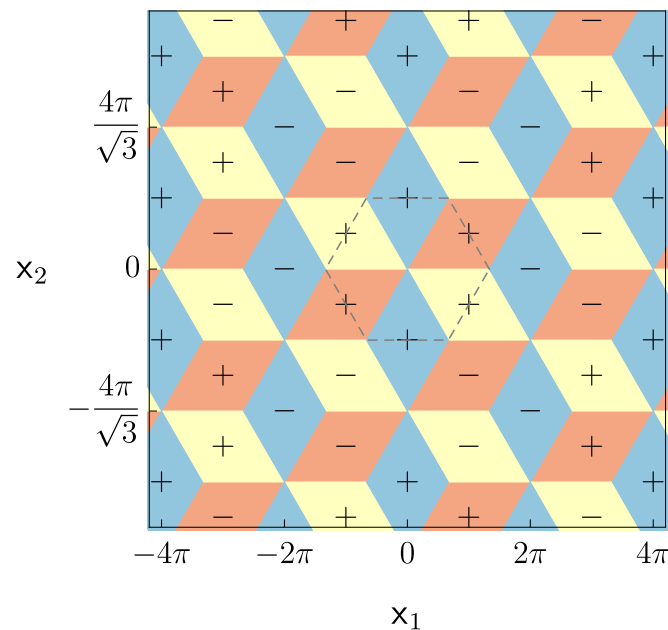
# Zig-Zag antiferromagnets



$$\mathcal{H}_{cl} = \sum_{a,l} \frac{\rho}{2} (\nabla \mathbf{N}_{a,l})^2 - \frac{J'}{2} \sum_a \mathbf{N}_{a,1} \cdot \mathbf{N}_{a,2} \cos\left(\frac{\mathbf{q}_a \cdot \mathbf{x}}{2}\right)$$

3 distinct  $\mathbf{q}_a$  domains

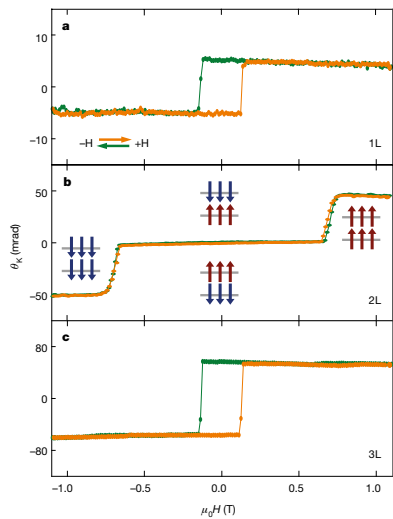
$\text{NiPS}_3, \text{FePS}_3, \text{CoPS}_3, \text{RuCl}_3 \dots$



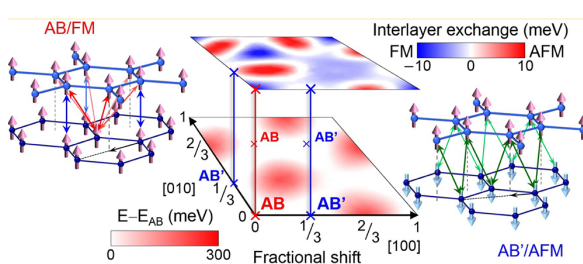
Strong-coupling  
domains have structure  
of “dice lattice”

# CrI<sub>3</sub>

Might not expect much from a *ferro*-magnet, but...



B. Huang *et al*, 2017



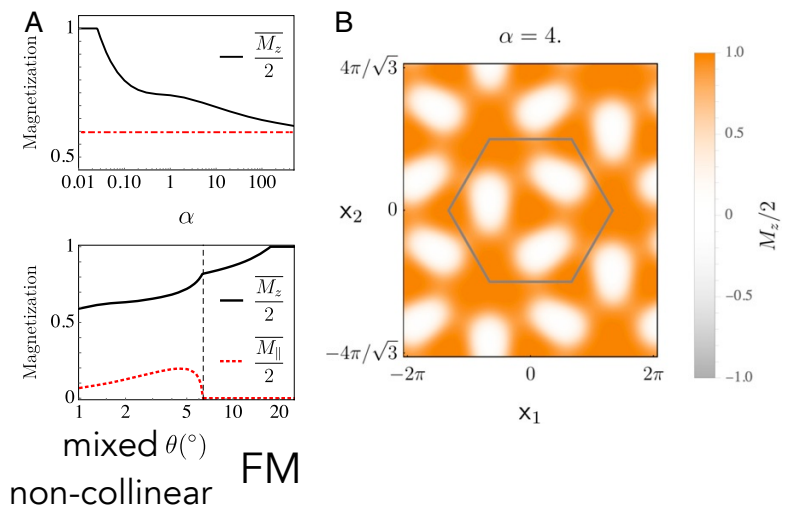
Sivadas *et al*, 2018

$$\mathcal{H}_{\text{cl}} = \sum_l \left[ \frac{\rho}{2} (\nabla \mathbf{M}_l)^2 - d (M_l^z)^2 \right] - J' \tilde{\Phi}(\mathbf{x}) \mathbf{M}_1 \cdot \mathbf{M}_2$$



from DFT theory

Sign-changing stacking-dependent interactions



# CrI<sub>3</sub>

nature  
nanotechnology

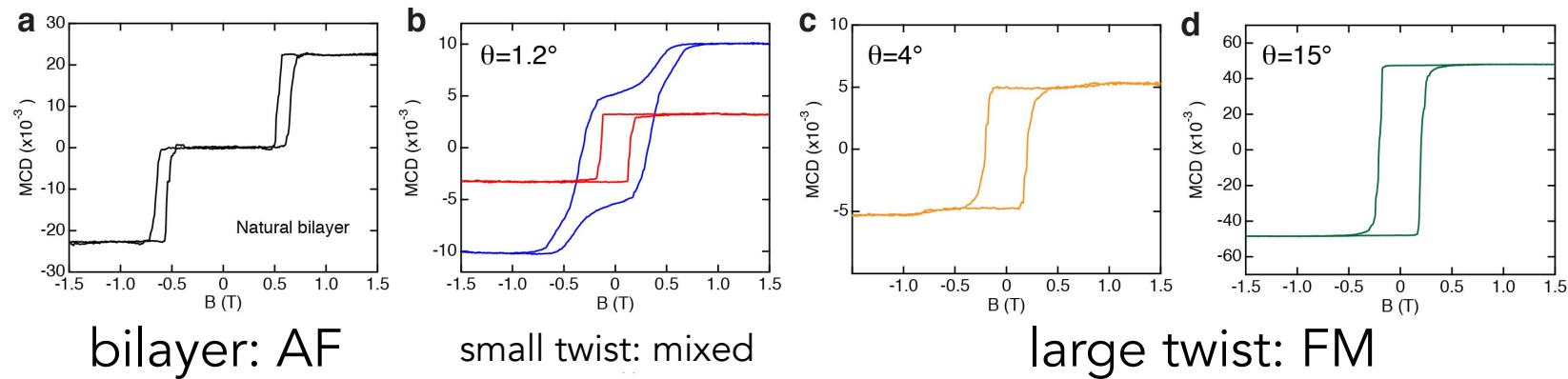
LETTERS

<https://doi.org/10.1038/s41565-021-01014-y>

 Check for updates

## Coexisting ferromagnetic-antiferromagnetic state in twisted bilayer CrI<sub>3</sub>

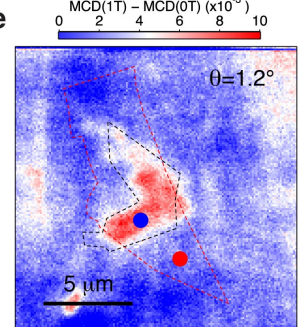
Yang Xu<sup>1,2</sup>, Ariana Ray<sup>3</sup>, Yu-Tsun Shao<sup>1</sup>, Shengwei Jiang<sup>1,3</sup>, Kihong Lee<sup>1,3</sup>, Daniel Weber<sup>1,4</sup>, Joshua E. Goldberger<sup>4</sup>, Kenji Watanabe<sup>1,5</sup>, Takashi Taniguchi<sup>1,6</sup>, David A. Muller<sup>1,7</sup>, Kin Fai Mak<sup>1,3,7</sup>✉ and Jie Shan<sup>1,3,7</sup>✉



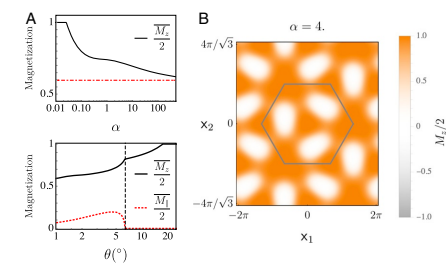
bilayer: AF

small twist: mixed

large twist: FM



c.f.



# CrI<sub>3</sub>

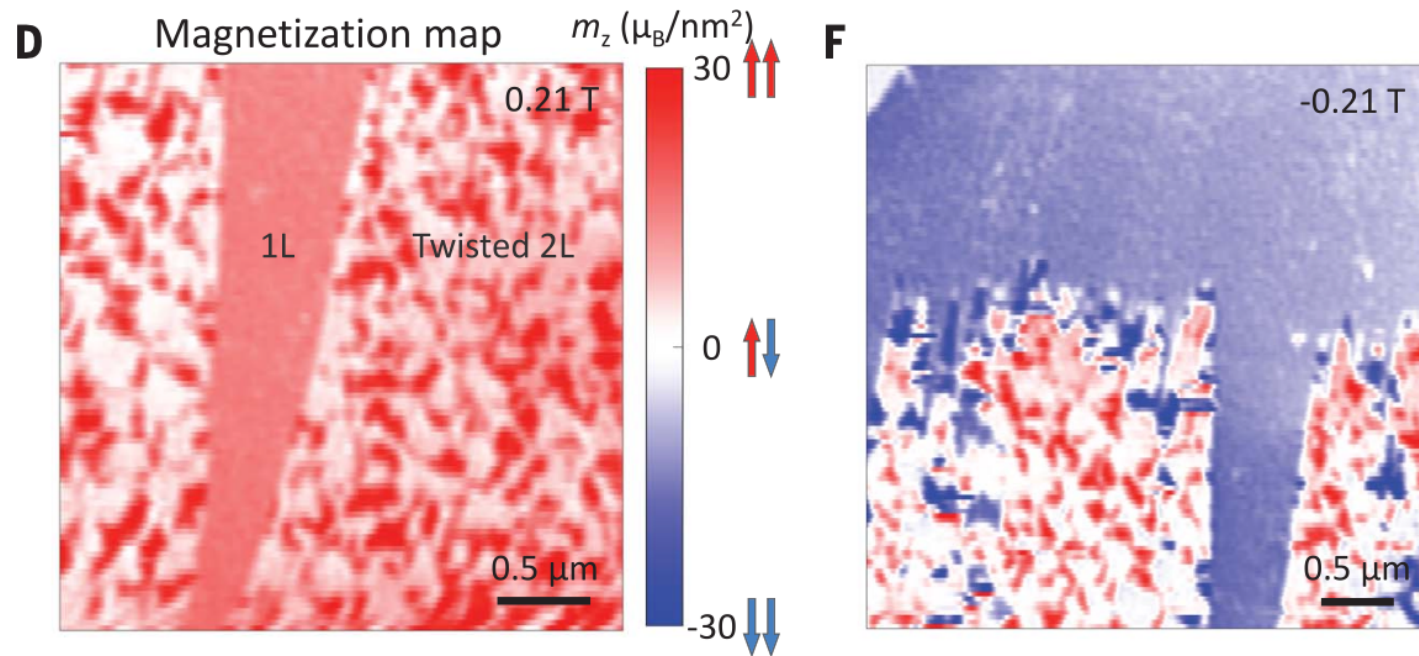
REPORT

MAGNETISM

## Direct visualization of magnetic domains and moiré magnetism in twisted 2D magnets

Tiancheng Song<sup>1†</sup>, Qi-Chao Sun<sup>2†</sup>, Eric Anderson<sup>1†</sup>, Chong Wang<sup>3</sup>, Jimin Qian<sup>4</sup>, Takashi Taniguchi<sup>5</sup>, Kenji Watanabe<sup>6</sup>, Michael A. McGuire<sup>7</sup>, Rainer Stöhr<sup>2,8</sup>, Di Xiao<sup>3</sup>, Ting Cao<sup>4</sup>, Jörg Wrachtrup<sup>2,9\*</sup>, Xiaodong Xu<sup>1,4\*</sup>

## Scanning NV magnetometry



(twist disorder is evident)

# Merci

